

106003825 01



SUBSTITUSIEREAKSIES VAN
VIERKANTIG-PLANÈRE KOMPLEKSE
VAN RODIUM (I)

Verhandeling aangebied ter vervulling van die vereistes vir die graad

MAGISTER SCIENTIAE

in die

**DEPARTEMENT CHEMIE
FAKULTEIT NATUURWETENSKAPPE**

aan die

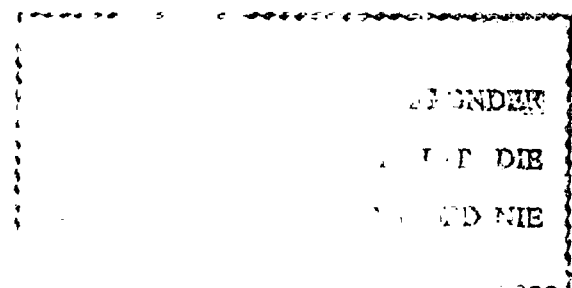
**UNIVERSITEIT VAN DIE ORANJE-VRYSTAAT
BLOEMFONTEIN**

deur

HERMAN MEYER

Studieleier: Prof. J.G. Leipoldt.

DESEMBER 1979.



U.O.V.S. - BIBLIOTEEK

1986003825012200000019



BLJOTHEK VTMW12345 CED NIE
OLV. V. A. 1980. 12. 15. UTT DIE
A. VAG. NDER

B. CTRK

A T 546.63459 MEY

Z-6-1980

BLJOTHEK VON G. Orlaie-Vysočin
SLOVENSKÝ ÚSTAV

DANKBETUIGINGS

Die skrywer wens hiermee sy opregte dank en waardering uit te spreek teenoor:

Prof. J.G. Leipoldt, wat as studieleier opgetree het, vir sy belangstelling, waardevolle hulp, opbouende kritiek en uitstekende leiding tydens die ondersoek.

Dr. S.S. Basson, mnr. A.J. van Wyk en C.R. Dennis vir hul belangstelling en hulp.

Die W.N.N.R. vir finansiële steun.

Marita vir die bekwame en akkurate tikwerk.

Die hoofde en personeel van die Departement Chemie vir hul belangstelling.

Sy ouers vir hul opregte belangstelling, hulp en opoffering. Hierdie verhandeling word dan ook aan hulle opgedra as 'n geringe blyk van waardering.

INHOUDSOPGawe

<u>ITEMNOMMER</u>	<u>ITEM</u>	<u>BLADSY</u>
<u>HOOFSTUK 1</u>		
1.1	Inleiding en doel van ondersoek	1
1.2	Reaksiekinetika	4
1.2.1	Inleiding	4
1.2.2	Die tempo van 'n reaksie	6
1.2.3	Die orde van 'n reaksie	7
1.2.4	Pseudo-orde kondisies en pseudo-orde reaksietempokonstantes	9
1.2.5	Termodinamiese funksies in reaksiekini- netika	11
1.2.6	Metode vir die waarneming en bepaling van die reaksietempo	13
1.3	Kristallografiese studiemetodes	17
1.3.1	Inleiding	17
1.3.2	Fouriersintese	19
1.3.3	Pattersonsintese	20
1.3.4	Mate van korrektheid van struktuur ...	21
1.3.5	Vergelyking vir die berekening van die hoek tussen twee vlakke	22
1.4	Afkortings	23

----oo---

<u>HOOFSTUK 2</u>	<u>VIERKANTIG-PLANêRE SUBSTITUSIEREAKSIES</u>
-------------------	---

2.1	Inleiding	24
2.2	Tempovergelyking vir vierkantig-planê- re substitusiereaksies	29

INHOUDSOPGawe (VERVOLG)

<u>ITEMNOMMER</u>	<u>ITEM</u>	<u>BLADSY</u>
2.3	Effek van ligande in die kompleks op die reaksietempo	32
2.3.1	Transeffek	32
2.3.1.1	Polarisasieteorie	32
2.3.1.2	σ - transeffek	33
2.3.1.3	π - transeffek	34
2.3.2	Steriese effekte	35
 <u>HOOFSTUK 3 DIE BEREIDING VAN RODIUM(I)-KOMPLEKSE</u>		
3.1	Inleiding	37
3.2	Die bereiding van $[Rh(TROP(CO)_2]$ en $[Rh(DBM(CO)_2]$	38
3.3	Die bereiding van $[Rh(Oxq(CO)_2]$	39
3.4	Die bereiding van $[Rh(TROP(CO)AsPh_3)]$	40
-----oo-----		
<u>HOOFSTUK 4 DIE KINETIKA VAN DIE REAKSIES VAN AsPh₃</u>		
<u>MET $[Rh(TROP(CO)_2]$, $[Rh(Oxq(CO)_2]$ EN</u> <u>$[Rh(DBM(CO)_2]$</u>		
4.1	Eksperimenteel	41
4.2	Resultate en bespreking	42
-----oo-----		

INHOUDSOPGawe (VERVOLG)

<u>ITEMNOMMER</u>	<u>ITEM</u>	<u>BLADSY</u>
<u>HOOFSTUK 5</u>	<u>SUBSTITUSIEREAKSIES VAN TROPOLONATO-</u>	
	<u>KARBONIELTRIFENIELARSIENRODIUM(I)</u>	
	<u>MET TTA IN BENSEENMEDIUM</u>	
5.1	Eksperimenteel	60
5.2	Resultate en bespreking	61
----oo---		
<u>HOOFSTUK 6</u>	<u>DIE KRISTALSTRUKTUUR VAN TROPOLONATO-</u>	
	<u>KARBONIELTRIFENIELFOSFIENRODIUM(I)</u>	
6.1	Eksperimenteel	69
6.2	Resultate en bespreking	74
----oo---		
<u>HOOFSTUK 7</u>	<u>BESPREKING</u>	91
	<u>OPSOMMING</u>	95
	<u>VERWYSINGS</u>	98

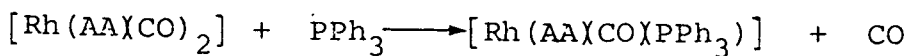
----oooOooo---

HOOFSTUK 1

1.1 INLEIDING EN DOEL VAN ONDERSOEK

Die snelheid van die substitusiereaksies is afhanklik van onder andere die effek van die oplosmiddel, die inkomende ligand, die vertrekkende ligand, die ligand cis ten opsigte van die vertrekkende ligand en die ligand trans ten opsigte van die vertrekkende ligand.¹⁾ Van al hierdie effekte is die effek van die ligand trans ten opsigte van die vertrekkende ligand een van die belangrikste. Die transeffek speel ook 'n belangrike rol in die bepaling van die spesifieke isomeer wat tydens substitusiereaksies gevorm word.

Dit is goed bekend dat die karbonielligande in kompleksse van die tipe $[\text{Rh}(\text{AA})(\text{CO})_2]$ (waar AA = bidentale ligande soos β -diketone, tropoloen en 8-hidroksikinolien) gedeeltelik verplaas word deur ligande soos trifenielaarsien en trifenielfosfien.²⁾ Die reaksies kan deur die volgende vergelyking voorgestel word:



In die gevalle waar AA 'n simmetriese bidentale ligand is, soos byvoorbeeld asetielasetoon, is die twee karbonielgroepe in $[\text{Rh}(\text{AA})(\text{CO})_2]$ chemies ekwivalent en is slegs een isomeer moontlik tydens bogenoemde reaksie.

In die gevalle waar AA 'n nie-simmetriese ligand is soos byvoorbeeld tenoïeltrifluoroasetielasetoon is die twee karbonielgroepe egter nie chemies ekwivalent nie en kan twee isomere tydens bogenoemde reaksie gevorm word. Om te kan voorspel watter spesifieke isomeer

tydens die reaksie gevorm word, is 'n kennis van die relatiewe reaktiwiteit van die twee karbonielgroepe nodig en dus 'n kennis van die relatiewe transeffek van die twee atome van die bidentale ligand wat aan die sentrale metaalatoom gebind is. Hierdie relatiewe transeffek sal onder andere bepaal word deur die substituente van die bidentale ligand.

Uit vorige werk wat gedoen is,³⁾ is dit duidelik dat hierdie reaksies nie die normale tweeterm tempowet volg nie.

Die doel van hierdie ondersoek is om meer te wete te kom omtrent die substitusiereaksies van vierkantig - planêre kompleksse van die tipe $[\text{Rh}(\text{AA})(\text{CO})_2]$. Daar is in hierdie stadium nog baie min bekend omtrent die substitusiereaksies van hierdie tipe komplekse.

In hierdie ondersoek sal ook klem gelê word op die effek van die substituente van die β -diketone op die relatiewe trans-effek van die suurstofatome van die β -diketone. Die bepaling van die relatiewe reaksiesnelhede van hierdie tipe substitusiereaksies en die strukturbepalings van die uitgangstowwe en van die produkte sal van groot belang wees in die studie van die effek van verskillende substituente van die β -diketoon op die relatiewe transeffek van die twee suurstofatome van die betrokke β -diketoon. Omdat β -diketone so 'n veelsydige reagens as komplekseermiddel is, sal so 'n studie ook waardevolle chemiese inligting omtrent die effek van substituente op die gedrag en aard van β -diketone as komplekseermiddel verskaf.⁴⁾

Om hierdie ondersoek te doen is die struktuur van die produkte, $[Rh(AA)(CO)(PPh_3)]$ of $[Rh(AA)(CO)(AsPh_3)]$ en veral die relatiewe transeffek van die verskillende ligande in hierdie verbinding ook van groot belang.

---ooo0ooo---

1.2 REAKSIEKINETIKA

1.2.1 Inleiding

Die tempo van chemiese prosesse en die faktore wat die tempo beïnvloed is al vir baie jare bestudeer, meestal met die doel om reaksiemeganismes te bepaal. Die eerste werklike kinetiese metings was gedoen deur Wilhelmy⁵⁾ in 1850 wat die snelheid van die inversie van sukrose bepaal het.

Kinetika het in die algemeen belang by die inligting van die proses waardeur 'n sisteem van die een toestand na die ander toestand oorgaan in 'n sekere tydsverloop. Die tempo van 'n reaksié kan slegs deur middel van kinetika bepaal word. Aangesien termodinamika net van toepassing is op die uitgangstowwe en die produkte van die reaksié en geen verband met die reaksieproses self het nie, kan 'n reaksiemeganisme nie net op grond van termodinamika verklaar word nie.⁶⁾

Die belangrikste kenmerk van reaksiekinetika is dat dit die enigste metode is waarvolgens die meganisme van 'n chemiese reaksié bepaal kan word, daarom vorm dit 'n belangrike deel van die meeste afdelings van chemie soos byvoorbeeld anorganiese chemie, organiese chemie en analitiese chemie. By 'n meganisme word bedoel die individuele botsings en ander elementêre prosesse wat atome, radikale, ione en moleküle insluit en wat gelyktydig of opeenvolgend plaasvind om die totale reaksié te gee. Die voorgestelde meganisme is in wese 'n teorie wat voorgestel word om die eksperimentele gegewens te verklaar. 'n Reaksiemeganisme kan slegs as 'n tentatiewe

verklaring vir die gegewens omtrent die reaksietempo beskou word. Dit is dus duidelik dat op hoe meer eksperimentele gegewens 'n sekere meganistiese voorstelling gebaseer is, hoe meer waarde kan aan die voorstelling geheg word.

Die geldigheid van 'n reaksiemeganisme kan bepaal word deur 'n studie van die produkte, die tipe bindingbreking wat plaasvind in die tempobepalende stap en deur 'n beskouing van die relatiewe reaksietempo's van soortgelyke spesies.

Dit blyk dus dat die doel van chemiese kinetika is om die tempo van enige reaksie onder 'n gegewe stel kondisies te bepaal met behulp van fisiese en of chemiese eienskappe van die reagerende molekule en om dan die verloop van die reaksie te verklaar.

Die resultate van reaksiekinetika kan ook van onmiddellike belang wees. Kondisies kan byvoorbeeld bepaal word waarvolgens 'n sekere reaksie vinnig verloop met 'n goeie opbrengs. Dit kan dus ook van groot belang wees by analitiese chemie. Daar kan ook byvoorbeeld bepaal word wat die kondisies moet wees om 'n onwelkome newe-reaksie te vertraag.

---oooOooo---

1.2.2 Die tempo van 'n reaksie

Die tempo van 'n chemiese reaksie kan gedefinieer word as die verandering in konsentrasie van een van die uitgangstowwe met die verloop van tyd. Dit kan geskryf word as⁷⁾

$$\text{Tempo} = - \frac{d}{dt} [\text{Reaktant}] = \frac{d}{dt} [\text{Produk}] \dots\dots\dots \quad 1.1$$

Volgens die wet van massawerking van Guldberg en Waage⁸⁾ is die tempo van 'n chemiese reaksie eweredig aan die effektiewe molekulêre konsentrasie van die uitgangstowwe. Hieruit volg dat vir die reaksie



die reaksietempo gegee word deur

$$\frac{-d[A]}{dt} = k C_A^a C_B^b \dots\dots\dots \quad 1.3$$

k is die reaksietempokonstante en C_A en C_B die aanvangskonsentrasies van die reagerende stowwe.

----oooOooo---

1.2.3 Die orde van 'n reaksie

Die orde van 'n reaksie gee die manier waarvolgens die reaksietempo met die verandering in konsentrasie van die reagende stowwe varieer. Die orde kan nul, een, twee of meer wees.⁹⁾

Indien die tempo van 'n reaksie onafhanklik is van die konsentrasie van die reaktant, is die reaksie nulde-orde. Die reaksietempo kan dus geskryf word as

$$-\frac{d[A]}{dt} = k \dots \dots \dots \dots \dots \quad 1.4$$

By eerste-orde reaksies neem die tempo van 'n reaksie af soos die konsentrasie van een van die uitgangstowwe afneem. Dit beteken dat die tempo afhanklik is van die konsentrasie van die betrokke komponent en die reaksietempo kan geskryf word as

$$-\frac{d[A]}{dt} = k[A] \dots \dots \dots \dots \dots \quad 1.5$$

Vir 'n eerste-orde reaksie geld die vergelyking

$$k = \frac{2,303}{t} \log_{10} \frac{C_0}{C} \dots \dots \dots \quad 1.6$$

Waar C_0 = die aanvangskonsentrasie en

C = die konsentrasie by tyd t .

Volgens hierdie vergelyking moet 'n lineêre verband verkry word tussen log (konsentrasie) en tyd indien die reaksie 'n eerste-orde reaksie is. Die reaksietempokonstantes kan dan vanaf die helling van die grafiek van log (konsentrasie) teen tyd verkry word. Om met behulp van die metode te toets of 'n reaksie eerste-orde is moet ten minste 75% omsetting van die reaksieverloop beskou word.

In die algemeen kan die tempovergelyking gegee word deur

$$\frac{-d[A]}{dt} = k [A_1]^{n_1} [A_2]^{n_2} [A_3]^{n_3}$$

waar die orde van die reaksie as 'n geheel (n) gegee word deur die algebraïese som van die onderskeieordes van die komponente, $n = n_1 + n_2 + n_3 + \dots$. Indien 'n reaksie in meer as een stap plaasvind sal die stadige tempobepalende stap die orde bepaal.

----ooo0ooo---

1.2.4 Pseudo-orde kondisies en pseudo-orde reaksietempokonstantes

Enige tempovergelyking wat nie die effek van al die spesies wat aan die reaksie deelneem in ag neem nie, gee nie die werklike tempovergelyking nie, maar wel 'n pseudo-orde tempokonstante aan. Indien die eksperimentele kondisies sodanig is dat slegs een van die spesies se konsentrasie merkbaar gedurende die verloop van die reaksie verander, word die reaksie onder pseudo-orde kondisies uitgevoer. In die praktyk kan dit verkry word deur die konsentrasie van al die reagerende uitgangstowwe in 'n oormaat in vergelyking met een reaktant te neem. Die konsentrasie van die reagense wat in 'n oormaat teenwoordig is, bly dus benaderd konstant gedurende die verloop van die reaksie. Bogenoemde uiteensetting kan met behulp van die volgende reaksie geïllustreer word:



Die reaksietempo word gegee deur:

$$\text{Tempo} = k[A][B] \dots \dots \dots \quad 1.7$$

Indien $[B] \gg [A]$, sodat die konsentrasie van B as konstant beskou kan word, vereenvoudig vergelyking 1.7 na

$$\text{Tempo} = k'[A] \dots \dots \dots \quad 1.8$$

dus na 'n pseudo-eerste-orde reaksie.

$$k' = k[B] \dots \dots \dots \quad 1.9$$

Die tweede-orde tempokonstante (k) kan dus met behulp van vergelyking 1.9 bepaal word deur die pseudo-eerste-orde reaksietempokonstante (k') vir verskillende konsentrasies van B te bepaal.

In die praktyk word dit dikwels gevind dat pseudo-orde kondisies komplekse kinetiese prosesse vereenvoudig ten opsigte van die evaluering van die empiriese tempovergelyking.

---ooooooo---

1.2.5 Termodinamiese funksies in reaksiekinetika

Arrhenius¹⁰⁾ het in 1887 die volgende verband tussen die tem-
pokonstante en die temperatuur voorgestel

$$\frac{d\ln k}{dT} = \frac{E_a}{RT^2} \dots \dots \dots \quad 1.10$$

In die vergelyking is k die reaksietempokonstante, T die ab-
solute temperatuur, R die gaskonstante en E_a die aktiverings-
energie wat karakteristiek vir 'n gegewe reaksie is.

Indien vergelyking 1.10 geïntegreer word (met E_a konstant)
word die volgende verkry:

$$\log_{10} k = \left(\frac{-E_a}{2,303R} \right) \frac{1}{T} + \log A \dots \dots \quad 1.11$$

A is die frekwensiefaktor.

Uit vergelyking 1.11 blyk dit dat 'n grafiek van $\log_{10} k$
teenoor $\frac{1}{T}$ 'n reguit lyn behoort te wees met 'n helling van
 $-\frac{E_a}{2,303R}$.

Die aktiveringsenergie, E_a , kan dus vanaf die helling bere-
ken word.

Uit die oorganstoestandteorie volg dat¹¹⁾

$$k = \frac{k_b T}{h} \cdot e^{\Delta S^\neq / R} \cdot e^{-\Delta H^\neq / RT} \dots \dots \quad 1.12$$

- waar k_b = Boltzmann se konstante
 h = Planck se konstante
 ΔS^\neq = Aktiveringsentropie
 ΔH^\neq = Aktiveringsentalpie
 k = Reaksietempokonstante
 T = Absolute temperatuur
 R = gaskonstante

Volgens vergelyking 1.12 is daar 'n lineêre verband tussen $\log \frac{k}{T}$ en $\frac{1}{T}$, sodat ΔH^\neq uit die helling, en ΔS^\neq uit die afsnit bereken word.

Vergelyking 1.12 kan ook in die vorm

$$\frac{\Delta S^\neq}{R} = \ln \left(\frac{k_b h}{k T} \right) + \frac{\Delta H^\neq}{RT} \quad \dots \dots \dots \quad 1.13$$

geskryf word. Indien ΔH^\neq en k bekend is kan die aktiverings-entropie hiervolgens bereken word.

---oooOooo---

1.2.6 Metode vir die waarneming en bepaling van die reaksietempo

Die spektrofotometriese metode vir die bepaling van die reaksieverloop is gebruik in hierdie kinetiese studie. Metings van die optiese digtheid of absorpsie van die oplossing by 'n sekere golflengte is as 'n funksie van tyd gedoen.

Hierdie metode is een van die gerieflikste metodes vir die bepaling van die verandering in konsentrasie van die uitgangstowwe of produkte. Die metode is vinnig, die reaksie hoef nie gestop te word nie, klein vloeistofvolumes word benodig en die reaksie kan oor 'n wye konsentrasiegebied ondersoek word.

Een vereiste vir so 'n kinetiese studie is dat die Beer-Lambertwet¹²⁾ vir die absorpsie van 'n bepaalde reagens gehoorzaam moet word, naamlik

$$\text{absorpsie} = A = \log I_0/I = \epsilon cl$$

waar I_0 en I die intensiteite van die invallende en deurgelalte lig onderskeidelik is, ϵ die uitdowingskoëffisiënt, l die padlengte van die absorpsiesel en c die konsentrasie van die betrokke uitganstof of produk is. Uit die verandering van die absorpsie as 'n funksie van tyd kan die reaksietempo of reaksietempokonstante dus bereken word.

In die geval van 'n eerste-orde reaksie geld die volgende vergelyking

$$k = \frac{2,303}{t} \log_{10} \frac{D_\infty - D_0}{D_\infty - D}$$

waar D_0 die aanvangsabsorpsie, D_∞ die absorpsie by tyd on-eindig en D die absorpsie by tyd t is.

Indien die waarde van D_∞ ongeveer nul is vereenvoudig die vergelyking na:

$$k = \frac{2,303}{t} \log_{10} \left(\frac{D_0}{D} \right)$$

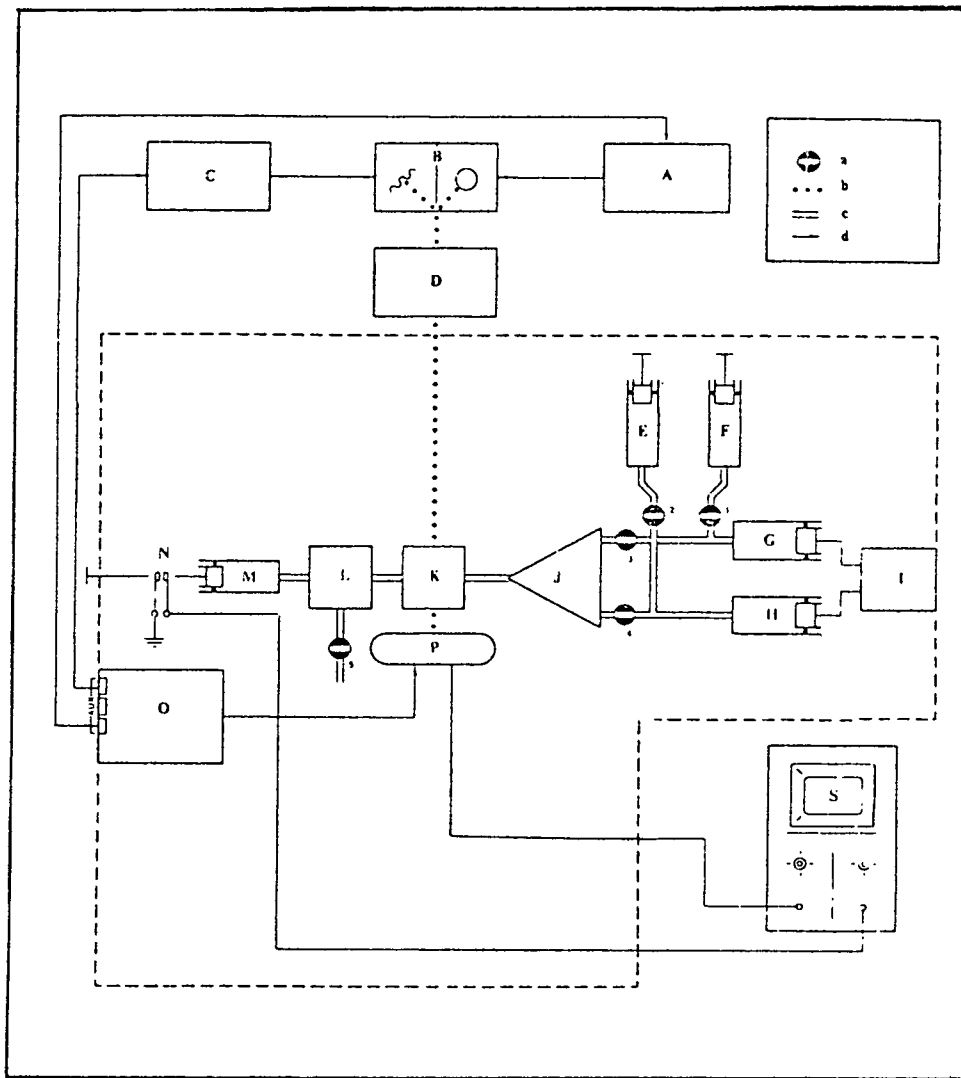
In die geval van 'n eerste-orde reaksie is 'n grafiek van $\log \frac{D_0}{D}$ teen tyd dus lineêr en die reaksietempokonstante kan vanaf die helling bereken word.

Vir al die vinnige reaksies wat in hierdie ondersoek uitgevoer is, is 'n Durrum stop-vloeispektralofotometer (model D-110) gebruik. Die Durrum stop-vloeispektralofotometer ('n skematische voorstelling van die apparaat word in figuur 1.1 gegee) kan gebruik word vir reaksies met 'n halfleeftyd van twee millisekondes tot twee minute. Die oplossings wat moet reageer word vinnig vanaf twee aparte silinders G en H onder 400 kPa druk, in die sel K gepers waar die reaksie plaasvind. Monochromatiese lig vanaf die monochromator word deur die oplosing in K gestuur en word op die ligstraalversterker P geprojekteer. Onmiddellik na menging word die reaksieverloop op die ossiloskoop S vasgelê. Die absorpsieverskil word dan as 'n spanningsverskil gemeet.

---ooooooo---

FIGUUR 1.1

VOORSTELLING VAN DIE DURRUM STOP-VLOEISPEKTROFOTOMETIER



- A Kragbron vir deuteriumlamp
- B Ligbron
- C Kragbron vir tungstenlamp
- D Monochromator
- E en F Spuite wat reserwe uitgangstowwe bevat
- G en H Silinders waaruit reagerende oplossings gepers word

- I Vloei-inisieerder
- J Vermengingsel
- K Waarnemingsel
- L Uitlaatklep
- M Stopsilinder
- N Snellerskakelaar
- O Kragbron vir ligstraalversterker
- P Ligstraalversterker
- S Ossiloskoop
- a Klep
- b Ligpad
- c Vloeipad
- d Elektriesepas

----oooOooo----

1.3 KRISTALLOGRAFIESE STUDIEMETODES

1.3.1 Inleiding

Die belangrikste doel van X-straalkristallografie is

- (i) die bepaling van die kristalsimmetrie, en
- (ii) die bepaling van die molekulêre struktuur vanaf die intensiteitsverspreiding.

Die volledige teoretiese aspekte van die verskillende metodes word in verskeie handboeke beskryf en slegs in kort oorsig van die metodes wat toegepas is, sal hier bespreek word.^{13,14)}

Die standaardmetode vir die bepaling van die kristalstruktuur is gevolg naamlik

- (a) 'n driedimensionele Pattersonsintese,
- (b) 'n driedimensionele Fourier-sintese, en
- (c) die kleinste kwadrate verfyning van die struktuur.

Die Patterson- en Fourierfunksies is bereken met behulp van die program FOURR terwyl die struktuur verfyn is met behulp van die verfyningsprogram CRYLSQ.

Die interatomafstande en interatomhoeke tesame met hul standaardafwyking is bereken met behulp van die program BONDLA.

Die beste vlakke (vergelyking gegee deur $ax + by + cz = d$) deur die onderskeie atome in die molekuul wat nagenoeg op 'n plat vlak geleë is, is bereken met behulp van die program LSQPL.

Die intensiteitsopnames is gedoen met behulp van 'n Philips enkelkristal X-straaldiffraktometer. 'n Univac (1100) rekenaar is gebruik vir al die berekeninge. Al die berekeninge is gedoen met behulp van die "X-ray 72" sisteem van programme.¹⁵⁾

---ooo0ooo---

16)

1.3.2 Fouriersintese

Die struktuurfaktor van die refleksie hkl word gegee deur

$$F_{hkl} = \sum_{j=1}^N f_j \exp\{2\pi i(hx_j + ky_j + lz_j)\} \dots \quad 1.14$$

waar gesommeer word oor al die atome in die eenheidsel met fraksionele koördinate x, y, z . Die struktuurfaktor F_{hkl} is dus die resultante amplitude van al die sekondêre golwe wat gediffrakteer word in die rigting van die refleksie hkl deur N atome in die eenheidsel.

F_{hkl} en dus die intensiteite ($I_{hkl} \propto F_{hkl}^2$) kan dus bereken word as die atoomposisies bekend is. In die praktyk word egter net die omgekeerde verlang, naamlik dat die atoomposisie bepaal moet word vanaf die intensiteite. Die elektrondigtheid kan beskou word as 'n periodiese funksie en dit is moontlik om met behulp van 'n driedimensionele Fourierreeks die volgende uitdrukking te verkry.

$$\rho(x, y, z) = \frac{1}{V} \sum_{h=-\infty}^{\infty} \sum_{k=-\infty}^{\infty} \sum_{l=-\infty}^{\infty} F_{hkl} \exp\{-2\pi i(hx + ky + lz)\} \dots \quad 1.15$$

'n Atoompositie word aangedui deur 'n maksimum in hierdie driedimensionele funksie. Volgens hierdie uitdrukking is dit duidelik dat die elektrondigtheid slegs bereken kan word indien die amplitude en fase van al die struktuurfaktore bekend is. Slegs die absolute waarde van die struktuurfaktor is egter eksperimenteel bepaalbaar, ($F_{hkl} \propto I^{\frac{1}{2}}$). In die geval van 'n sentrosimmetriese struktuur beteken dit dat die teken (+ of -) van F_{hkl} onbekend is, sodat vergelyking 1.15 nie direk gebruik kan word nie. Dit is bekend as die fasè-probleem in kristallografie.

---oooOooo---

1.3.3 Pattersonsintese¹⁷⁾

Om die fase-probleem te oorkom het Patterson die vierkante van die struktuur amplitudes $|F|^2$ gebruik as Fourierkoëffisiënte. Die volgende vergelyking kan deur gebruikmaking van die elektrondigtheidsfunksie, vergelyking 1.16, herlei word:

$$P(u,v,w) = \frac{1}{V} \sum_{hkl} |F_{hkl}|^2 \exp[2\pi i(hu+kv+lw)] \dots \dots \dots \text{1.16}$$

(u,v,w) is die fraksionele koördinate van 'n punt in die Patterson-eenheidsel. Deur gebruikmaking van die gemete intensiteite kan 'n driedimensionele Pattersonfunksie dus bereken word. Die Pattersonfunksie (vergelyking 1.16) gee nie atoomposisies soos die elektrondigtheidsfunksie (vergelyking 1.15) nie, maar wel interatoomvektore.

Daar sal dus N^2 pieke (waar N = die aantal atome in die eenheidsel) op die Pattersonkaart voorkom, waarvan N op die oorsprong sal val. Dit is dus duidelik dat die interpretasie van die Pattersonkaart baie moeilik is. Indien daar egter 'n swaaratoom in die molekuul is (piekhoogte is naastenby eweredig aan die produk van die atoomgetalle), kan sy koördinate egter redelik maklik vanaf die Pattersonkaart bepaal word. Vanaf die koördinate van die swaaratoom kan benaderde fasehoeke (tekens + of -, in die geval van 'n sentrosimmetriese struktuur) van F_{hkl} met vergelyking 1.14 bereken word.

Hierdie benaderde fasehoeke van F_{hkl} tesame met die eksperimentele waardes van F_{hkl} kan dan gebruik word om 'n driedimensionele elektrondigtheidskaart met behulp van vergelyking 1.15 te bereken. Die koördinate van die ligter atome kan dan vanaf die elektrondigtheidskaart bepaal word.

1.3.4 Mate van korrektheid van struktuur¹⁸⁾

Die koördinate wat vanaf die Fouriersintese verkry word, kan met behulp van die kleinste kwadrate metode verfyn word. Hierdeur word ook die standaardafwyking van die koördinate verkry. Wanneer F_C goed ooreenstem met F_O (vir alle refleksies) kan aangeneem word dat die struktuur korrek is. Hierdie ooreenkoms word in terme van die residu-faktor R uitgedruk,

$$R = \frac{\sum ||F_O| - |F_C||}{\sum |F_O|}$$

waar F_O die waargenome struktuurfaktor en F_C die berekende struktuurfaktor is. Die waarde van R moet relatief laag wees as die struktuur korrek is en word die betroubaarheidsfaktor genoem wat gewoonlik as 'n persentasie uitgedruk word. 'n Lae R waarde is nie al faktor wat bepaal hoe akkuraat die atoomkoördinate is nie, maar die aantal refleksies gemeet speel ook 'n rol. Daarom is dit noodsaaklik om 'n groot aantal refleksies te gebruik vir die strukturbepaling.

---ooooooo---

1.3.5 Vergelyking vir die berekening van die hoek tussen twee vlakke

Die hoek tussen die normaalvektore op twee vlakke waarvan die vergelyking bekend is, is bereken met behulp van die vergelyking.¹⁹⁾

$$\cos \theta = \pm \frac{(a_1 a_2 + b_1 b_2 + c_1 c_2)}{(a_1^2 + b_1^2 + c_1^2)^{\frac{1}{2}} (a_2^2 + b_2^2 + c_2^2)^{\frac{1}{2}}} \dots \dots \dots \dots \quad 1.17$$

Die vergelykings van die twee vlakke wat beskou is, word gegee deur

$$a_1 x + b_1 y + c_1 z = d_1 \quad \text{en}$$
$$a_2 x + b_2 y + c_2 z = d_2$$

---ooo0ooo---

1.4 AFKORTINGS

Die volgende afkortings word deurgaans gebruik.

k = reaksietempokonstante

K = eweigskonstante

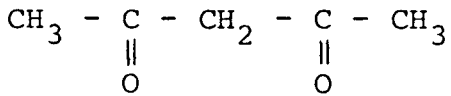
T = grade absolut

ΔS^\neq = aktiveringsentropie in $\text{JK}^{-1} \text{ mol}^{-1}$

ΔH^\neq = aktiveringsentalpie in kJ mol^{-1}

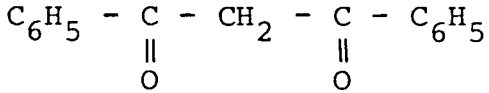
AA = TROP of Oxq of DBM

AsAs = Asetielasasetoon



AsPh₃ = Trifenielarsien

DBM = Dibensoïelmetaan



dien = dietileentriamien

DMF = N,N - Dimetielformamied

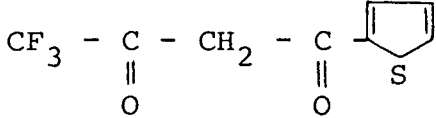
$\text{Et}_4\text{dien} = \text{tetraethylidietileentriamien}$

Oxq = 8-hidroksikinolien

PPh_3 = trifenielfosfien

TROP = Tropoloon

TTA = 1-[*tert*-butyl - (2')]-3,3,3-trifluoroacetoxy



Eks = eksperimenteel

Eksponent = eksponent

HOOFSTUK 2

VIERKANTIG - PLANÈRE SUBSTITUSIEREAKSIES

2.1 Inleiding

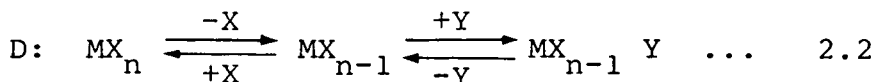
Substitusiereaksies is net so intensief bestudeer as enige ander klas van anorganise reaksies. Die algemene vergelyking vir dié reaksies kan as volg geskryf word:

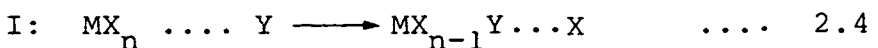
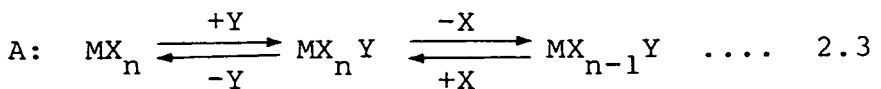


Meganistiese ontleding van substitusiereaksies kan in twee fases verdeel word. Die eerste is die stoigiometriese mekanisme wat 'n voorstelling van die elementêre stappe is waarvolgens 'n reaksie verloop. Die tweede is die ondersoek van die grootte van die reaksietempo van die afsonderlike stappe in terme van die herrangskikking van atome of bindings. Substitusiereaksies kan volgens drie moontlikhede plaasvind:

- (i) 'n Assosiatiewe mekanisme (A) waar die inkomende ligand in die eerste stap aan die metaalioon bind om 'n intermediêr met 'n verhoogde koördinasiegetal te vorm.
- (ii) 'n Dissosiatiewe mekanisme (D) waar 'n intermediêr met 'n verlaagde koördinasiegetal gevorm word.
- (iii) 'n Uitruilingsmekanisme(I) waar die vertrekende ligand vanaf die inner- na die uiterkoördinasiesfeer beweeg en omgekeerd vir die inkomende ligand.

Die drie mekanismes kan as volg voorgestel word:





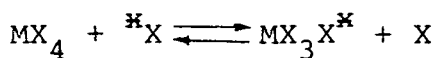
In die geval van 'n assosiatiewe proses, waar beide inkomende en vertrekkende ligande deel van die oorganstoestand vorm, het die inkomende ligand 'n groot effek op die aktiveringsenergie. By 'n dissosiatiewe proses neem die inkomende ligand egter nie deel in die oorganstoestand vir die vorming van 'n intermediêr nie.

I reaksies kan geklassifiseer word as I_a of I_d . In die geval van 'n I_a -proses is daar relatief sterk bindings met beide inkomende en vertrekkende ligande in die oorganstoestand, terwyl die inkomende ligand 'n groot rol speel in die bepaling van die energie van die reaksie. In die geval van 'n I_d -proses is beide inkomende en vertrekkende ligande relatief swak gebind in die oorgangstoestand en die inkomende ligand het 'n klein effek op die reaksietempo.

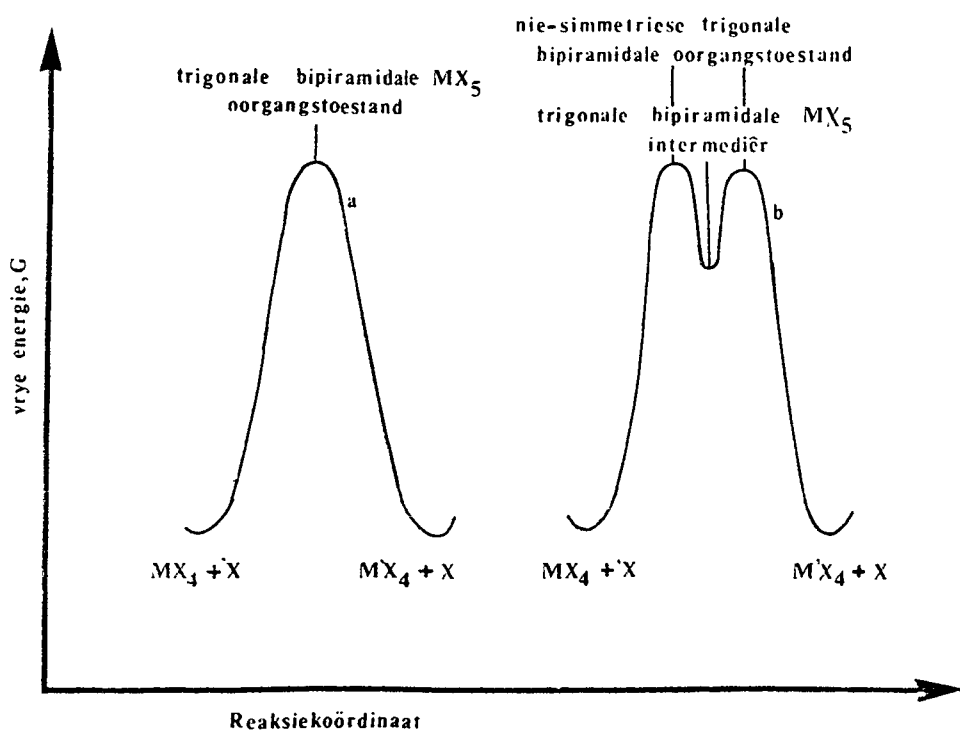
Die relatiewe energieë van die molekulêre orbitale van vierkantig-planêre komplekse is bekend. Die oorgrote meerderheid van vierkantig-planêre komplekse besit d^8 sentrale metaalione wat diamagneties is. Die p_z -valensorbitaal in vierkant-planêre metaalkomplekse is nie betrokke in σ -binding nie en dus beskikbaar vir die vorming van 'n ekstra σ -binding soos vereis vir 'n assosiatiewe meganisme. Die beskikbare p_z -valensorbitaal vir binding met die inkomende ligand om 'n vyfgekoördineerde intermediêr te vorm is 'n aanduiding dat vier-

kantig-planêre substitusiereaksies via 'n assosiatiewe meganisme verloop.

In die geval van 'n assosiatiewe reaksie



moet 'n grafiek van vrye energie teen reaksiekoördinaat simmetries wees. Daar is egter twee moontlike prosesse naamlik A en I_a . In die geval van 'n I_a -proses is die oorganstoestand die simmetriese trigonale bipiramidale struktuur met die hoogste energie. By die A-proses is daar 'n minimum in die kurwe wat 'n simmetriese trigonale bipiramidale intermediêr voorstel, sien figuur 2.1



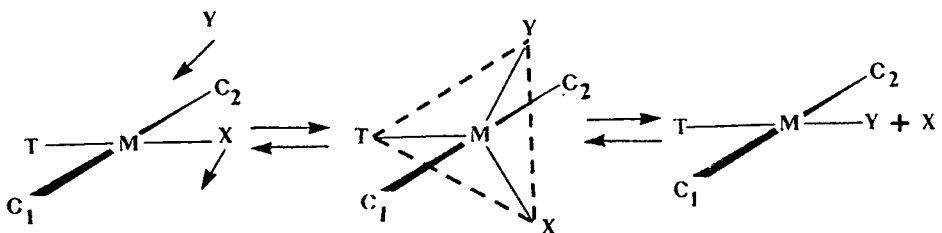
Figuur 2.1 Grafiek van vrye energie teenoor reaksiekoördinaat vir die assosiatiewe reaksie $MX_4 + {}^{\text{x}}X \rightleftharpoons MX_3{}^{\text{x}}X + X$: (a) I_a -meganisme; (b) A-meganisme.

Die isolering van 'n aantal stabiele trigonale bipiramidale d^8 -komplekse²⁰⁾ tesame met die beskikbare getuienis vir die voorstelling van 'n intermediêr dui op 'n A-proses.

Die trigonale bipiramidale oorganstoestand voorspel ook groot transeffekte en klein cis-effekte wat in ooreenstemming met eksperimentele resultate is. Trans- en cis-effekte alleen kan egter nie genoegsame bewys lewer van 'n I_a of A proses nie.

'n Vergelyking van die effek van die inkomende en vertrekken-de groepe met dié van die transeffek is in ooreenstemming met die bestaan van 'n vyfgekoördineerde intermediêr, dit wil sê met 'n A-proses.

Die assosiatiewe meganisme in vierkantig-planêre komplekse kan as volg voorgestel word:



Volgens hierdie voorstelling is die transgroep, die inkomende ligand en die vertrekkende ligand in die trigonale vlak van die vyfgekoördineerde intermediêr. Volgens elektroniese oorwegings kan die vyfgekoördineerde intermediêr óf 'n trigonale bipiramidale- of 'n vierkantig-bipiramidale geometrie hê. Op

grond van elektroniese argumente alleen kan daar nie onder-skei word tussen bogenoemde twee strukture nie. Dit word egter algemeen aanvaar dat die trigonale bipiramidale geometrie die voorkeur polieder is vir die lae spin d^8 -komplekse met goeie π -akseptor ligande.

---ooooooo---

2.2 Tempovergelyking vir vierkantig-planêre substitusiereaksies

Die substitusiereaksies van d^8 -metaalkomplekse vind plaas met behoud van geometriese konfigurasie en volg 'n tweeterm tempowet met die volgende vorm:

$$\text{Tempo} = \frac{-d[\text{kompleks}]}{dt} = (k_1 + k_2[Y])[\text{Kompleks}] \dots \dots \dots \quad 2.5$$

k_1 is 'n eerste-orde reaksietempokonstante, k_2 'n tweede-orde reaksietempokonstante. $[Y]$ stel die konsentrasie van die inkomende ligand voor. Die " k_2 term" ($k_2[Y][\text{Kompleks}]$) is in ooreenstemming met die verwagte tweede-orde tempovergelyking volgens 'n assosiatiewe meganisme, sien vergelyking 2.3. Die teenwoordigheid van 'n eerste-orde term ($k_1[\text{Kompleks}]$) mag dui op die dubbelsinnigheid van die meganisme naamlik 'n dissosiatiewe pad. Dit mag egter ook 'n assosiatiewe meganisme wees met 'n molekuul van die oplosmiddel, S , as reaktant sodat vergelyking 2.5 geskryf kan word as:

$$\text{Tempo} = (k_s[S] + k_2[Y])[\text{Kompleks}] \dots \dots \dots \quad 2.6$$

$$\text{waar } k_1 = k_s[S]$$

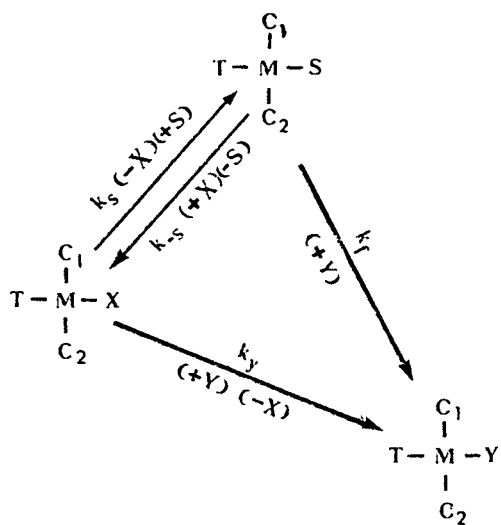
Die oplosmiddel speel 'n baie belangrike rol in vierkantig-planêre substitusiereaksies waar dit as nukleofiel optree en in die reaksiepad deur k_s voorgestel word. Die bydrae tot dié reaksiepad sal verhoog word met verhoging in die koördinasievermoë van die oplosmiddel.

Hierdie afhanklikheid van k_1 van die oplosmiddel is dus in ooreenstemming met 'n assosiatiewe meganisme.

In vergelyking 2.6 verwys k_2 na die bimolekulêre reaksie tus-

sen Y en die kompleks en k_s na die bimolekulêre reaksie tussen die oplosmiddel en die kompleks.

Hierdie twee gelyktydige reaksies kan skematis as volg voorgestel word:



Volgens die voorgestelde meganisme word die vormingsnelheid van $[MY]$ gegee deur

$$\frac{d[MY]}{dt} = k_y [MX] [Y] + k_f [MS] [Y] \dots \dots \dots \quad 2.7$$

$$(MY = MTC_1 C_2 Y, MS = MTC_1 C_2 S \text{ en } MX = MTC_1 C_2 X)$$

Die vloeisel-ewewigteorie kan toegepas word op $[MS]$.

$$\begin{aligned} \frac{d[MS]}{dt} &= k'_s [MX] [S] - k_{-s} [MS] [X] - k_f [MS] [Y] = 0 \\ &= k_s [MX] - k_{-s} [MS] [X] - k_f [MS] [Y] = 0 \dots \dots \dots \quad 2.8 \end{aligned}$$

waar $k_s' = k_s [S]$, aangesien S in 'n groot oormaat teenwoordig is.

$$\text{Dus } [MS] = \frac{k_s [MX]}{k_{-s} [X] + k_f [Y]} \dots \dots \dots \quad 2.9$$

As die waarde van $[MS]$ soos in vergelyking 2.9 in vergelyking 2.7 gestel word, word die volgende verkry.

$$\frac{d[MY]}{dt} = k_Y [MX] [Y] + k_f \frac{k_s [MX] [Y]}{k_{-s} [X] + k_f [Y]} \dots \quad 2.10$$

$$= \frac{k_y k_{-s} [MX] [Y] [X] + k_y k_f [MX] [Y]^2 + k_f k_s [MX] [Y]}{k_{-s} [X] + k_f [Y]} \dots \quad 2.11$$

Indien $k_{-s} [X] \ll k_f [Y]$ vereenvoudig vergelyking 2.11 na:

$$\frac{d[MY]}{dt} = \frac{k_y k_f [MX] [Y]^2 + k_f k_s [MX] [Y]}{k_f [Y]} \dots \quad 2.12$$

$$\frac{d[MY]}{dt} = (k_s + k_y [Y]) [MX] \dots \quad 2.13$$

Indien $[Y] \gg [MX]$ volg dit dat:

$$k_{wg} = k_s + k_y [Y] \dots \quad 2.14$$

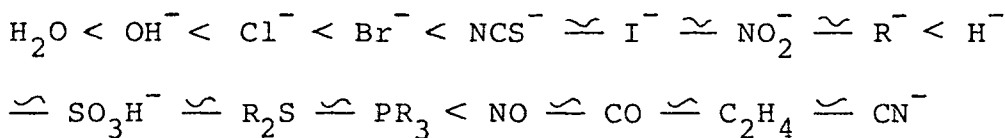
Vergelyking 2.13 is nou dieselfde as die algemene empiriese vergelyking 2.5

---ooooooo---

2.3 EFFEK VAN LIGANDE IN DIE KOMPLEKS OP DIE REAKSIETEMPO

2.3.1 Transeffek

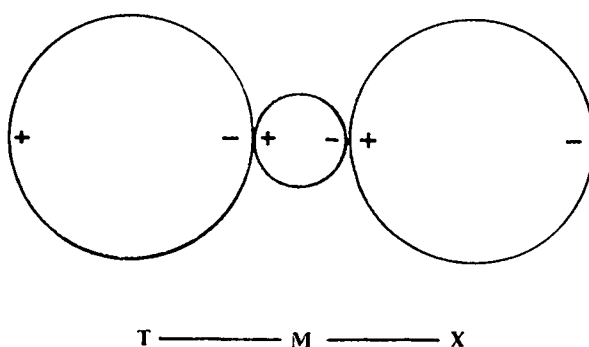
Die kinetiese transeffek in vierkantig-planêre substitusiereaksies is vir die eerste keer deur Werner²¹⁾ waargeneem. Van al die ligandeffekte het die transeffek sekerlik die grootste invloed op die reaktiwiteit van die komplekse. Die volgende voorstelling²²⁾ gee die orde van die transeffek vir 'n aantal verskillende ligande.



2.3.1.1 Polarisasieteorie

Die basis van die teorie is dat die groot transeffek van 'n ligand T in trans - MTC₁C₂X 'n verswakking van die M - X binning tot gevolg het. Die teorie is oorspronklik deur Grindberg²³⁾ opgestel en berus op die polariseerbaarheid van T wat 'n effek op die ladingsdistribusie het.

Dit kan as volg voorgestel word:



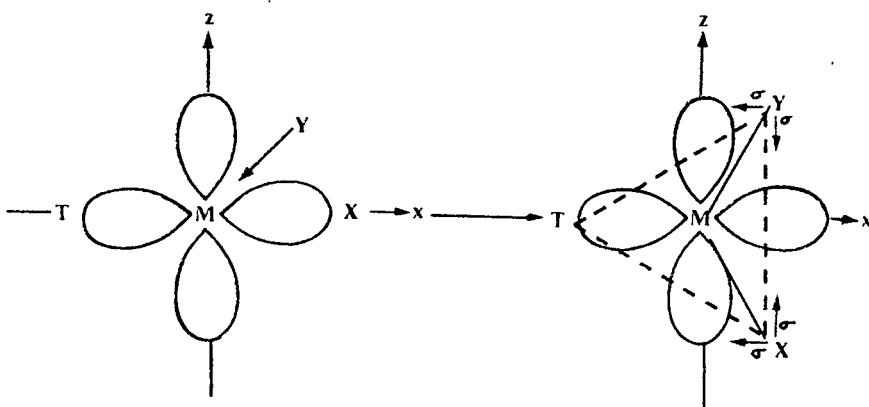
Die lading van die sentrale metaalioon induseer 'n dipool op T wat op sy beurt 'n dipool op die metaal induseer. Die oriëntasie van die tweede dipool is sodanig dat dit enige negatiewe lading van groep X afstoot. Die aantrekking tussen X en die M^+ -ioon word dus verminder sodat die M-X binding langer en swakker word. Die sukses van die teorie is dat dit die verband tussen die grootte van die transeffek van T (dus die reaktiwiteit van die kompleks) en die polariseerbaarheid van T aandui byvoorbeeld $I^- > Br^- > Cl^-$.

Volgens hierdie teorie sal die transeffek ook groter wees, hoe meer polariseerbaar die sentrale metaalatoom is. Dit is in ooreenstemming met eksperimentele resultate naamlik dat die reaktiwiteit van Pt(II)-komplekse groter is (weens die relatieve polariseerbaarheid van die trans-ligande) as in die geval van Pd(II)- en Pt(IV)- komplekse.²⁴⁾

2.3.1.2 σ - Transeffek

Van die vier metaal-valensorbitale wat betrokke is by die σ -binding in vierkantig-planêre komplekse het slegs die p-orbitale transgerigde eienskappe. Dus moet die transligand in die vertrekende groep dieselfde p_x -orbitaal deel. Die transgroep moet sterker σ -interaksie met die p_x -orbitaal het tot gevolg dat die binding met die vertrekende groep relatief swakker is in die grondtoestand. Die dryfkrag is om meer p-orbitaal aan die transgroep te verskaf deurdat die vertrekende groep uit die omgewing van sterk oorvleueling beweeg. Die beskikbare p_z -orbitaal word gebruik om beide die inkomende

en vertrekkende groepe aan die sentrale metaalatoom in die vyfgekoördineerde oorgangstoestand te bind. Omdat beide die inkomende en vertrekkende groepe die beskikbare p_z -orbitaal deel besit die transgroep meer as die helfte van die p_x -orbitaal in die oorgangstoestand. Die verskil in die energieë van die grond- en oorgangstoestand moet dus klein wees vir goeie σ -metaal donorligande. Hierdie bespreking kan skematis as volg voorgestel word:



Bogenoemde bespreking impliseer nie dat die binding tussen die metaalioon en die transgroep noodwendig sterker in die oorgangstoestand as in die grondtoestand moet wees nie. Beide die vertrekkende- en transgroep-binding mag swakker in die oorgangstoestand wees as gevolg van die teenwoordigheid van die inkomende groep.

2.3.1.3 π - Transeffek

In 'n vierkantig-planêre kompleks is daar drie d-orbitale met geskikte simmetrie vir π -interaksie, naamlik die d_{xy} -, d_{xz} - en d_{yz} -orbitale. Slegs die d_{xz} - en d_{yz} -orbitale kan met beide lede van 'n paar transgerigde ligande π -bindings vorm.

Tydens die vorming van die trigonale bipiramidale oorgangstoestand besit die d_{yz} -, d_{xz} -, d_{xy} - en $d_{x^2-y^2}$ -orbitale die regte simmetrie vir π -interaksie. Al hierdie orbitale word gedeel in π -interaksie met die ligande in die trigonale vlak, dit is die trans-, inkomende- en vertrekkende ligande. In die d^8 -komplekse is al die genoemde d-orbitale gevul. Die trigonale bipiramidale oorgangstoestand sal dus gestabiliseer word indien die transgroep leë redelike stabiele π -simmetrie orbitale besit, omdat 'n interaksie van leë ligand π -orbitale met die gevulde d-metaalorbitale elektroniese lading na die transligand delokaliseer en sodoende die energie van die sisteem verlaag. Die effek van 'n goeie π -akseptor transgroep is dus om die algehele aktiveringsergie te verlaag. Die twee cis-ligande wat die aksiale posisies in die trigonale bipiramide beset, neem deel aan π -binding met slegs twee van die vier orbitale. Die cis-ligande kan dus nie tot dieselfde mate as die transligande die aktiveringsergie verlaag deur metaal \longrightarrow ligand π -bindings nie.

In teenstelling met die groot invloed van die groepe trans tot die vertrekkende groep op die reaktiwiteit van die kompleks, het die cis-groepe 'n baie klein effek. Die cis-effek volg ook nie 'n definitiewe patroon soos in die geval van die transeffekte nie.

2.3.2 Steriese effekte

Die eerste duidelike eksperimentele bewyse vir 'n assosiatiewe aktivering in vierkantig-planêre substitusiereaksies was waar

groot verskille in reaksiesnelhede verkry is deur die blokkering van die aanval posisies van die inkomende ligande bo en onder die vlak.²⁵⁾ Cis-blokkering is meer effektief as trans-blokkering wat 'n direkte bewys is dat die oorgangstoestand 'n trigonale bipiramidale geometrie besit. 'n Voorbeeld hiervan is die verskil in reaksietempo van die substitusiereaksies van $\text{Pt}(\text{dien})\text{Cl}^+$ ²⁶⁾ en $\text{Pt}(\text{Et}_4\text{dien})\text{Cl}^+$ ²⁷⁾ in 'n waterige medium. Substitusiereaksies van laasgenoemde kompleks is baie stadiger as dié van eersgenoemde. By laasgenoemde kompleks blokkeer die vier etielgroepe die toegang tot die sentrale metaalatoom bo en onder die vlak. Hierdie groot steriese effekte (wat ook by ander reaksies waargeneem is²⁸⁾) is 'n direkte getuienis vir 'n assosiatiewe meganisme.

----ooo0ooo----

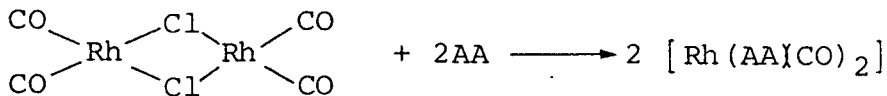
HOOFSTUK 3

DIE BEREIDING VAN RODIUM(I)-KOMPLEKSE

3,1 Inleiding

Enoliseerbare β -diketone reageer met baie metaalkarboniele met die verlies van koolstofmonoksied en op die manier is verskeie β -diketoonkomplekse van yster(III)²⁹⁾, chroom(III) en molibdeen(III)³⁰⁾ berei.

Bonati en Wilkinson²⁾ het vir die eerste keer monomeriese β -diketoonkomplekse van rodium (bv. $[\text{Rh}(\text{asas})(\text{CO})_2]$) berei deur die reaksie van tetrakarboniel- $\mu\mu$ -dichlorodirodium(I) met verskeie β -diketone in die teenwoordigheid van bariumkarbonaat. Die tipe reaksies vind dus nie plaas deur die verlies van koolstofmonoksied nie. Die reaksie kan as volg voorgestel word.



'n Nadeel van bogenoemde sintese was dat die verbinding tetrakarboniel- $\mu\mu$ -dichlorodirodium(I) geïsoleer moes word.

'n Ander bereidingsmetode is in 1965 deur Rusina en Vlček³¹⁾ voorgestel waar $\text{RhCl}_3 \cdot 3\text{H}_2\text{O}$ in die teenwoordigheid van DMF verhit word. In oplossing is die vorm waarin rodium voorkom nie presies bekend nie, maar dit word aanvaar dat rodium in die vorm van die planêre cis-dikarbonielrodium(I) - kompleks is.^{32,33)} So 'n oplossing bied 'n gerieflike uitgangsstof vir die sintese van 'n groot aantal verskillende rodium(I) - komplekse.

3.2 DIE BEREIDING VAN $[\text{Rh}(\text{TROPXCO})_2]$ EN $[\text{Rh}(\text{DBMXCO})_2]$

Presies een gram $\text{RhCl}_3 \cdot 3\text{H}_2\text{O}$ is in ongeveer 30 cm^3 DMF opgelos en onder terugvloeい verhit. Die kleur van die oplossing het oor 'n tydperk van ongeveer 30 minute van rooibruin na liggeel verander. Na afkoeling is 'n effense oormaat van die betrokke cheleringsreagens by die oplossing gevoeg. Die oplossing is goed geskud en 100 cm^3 water is stadig by die oplossing gevoeg om sodoende die gevormde produk $[\text{Rh}(\text{AA}X\text{CO})_2]$ te prisipi-teer. Die prisipitaat is afgesentrifugeer en uit metanol her-kristalliseer. Die opbrengs was 50 - 80% vir die verskillende komplekse.

Die infrarooispektra van hierdie verbindings was identies aan dié van die verbindings berei deur Bonati en Wilkinson²⁾.

---oooOooo---

3.3 DIE BEREIDING VAN [Rh(Oxq)(CO)₂]

Dieselfde prosedure as in paragraaf 3.2 is gevolg behalwe dat 0,65 g Na(Oxq) by die DMF-oplossing gevoeg is. Die gevormde produk is met ys gepresipiteer, afgesentrifugeer, gewas met water, etanol en eter en uit chloroform herkristalliseer. Die opbrengs was 62,5%.

---ooooooo---

3.4 DIE BEREIDING VAN [Rh(TROP(CO)AsPh₃)₂]

Ekwimolekulêre hoeveelhede van die [Rh(TROP(CO))]₂ en AsPh₃ is in die minimum hoeveelheid asetoon opgelos en toegelaat om uit te kristalliseer. Die gevormde produk is uit asetoon herkristalliseer. Die opbrengs was 67%.

Die verbinding [Rh(TROP(CO)AsPh₃)₂] wat op presies dieselfde manier berei is, is geïdentifiseer deur middel van 'n kristalstruktuur bepaling (sien hoofstuk 6). Met behulp van X-straal poeierfoto's is gevind dat die verbindings [Rh(TROP(CO)PPh₃)₂] en [Rh(TROP(CO)AsPh₃)₂] isomorf en dus dieselfde kristal- en molekulêre struktuur het.

---ooooooo---

HOOFSTUK 4

DIE KINETIKA VAN DIE REAKSIES VAN AsPh₃ met [Rh(TROP)(CO)₂].
[Rh(Oxq)(CO)₂] en [Rh(DBM)(CO)₂].

4.1 Eksperimenteel

Die rodium(I)-komplekse wat in hierdie ondersoek gebruik is, is berei soos beskryf in hoofstuk 3 en uit metanol herkristalliseer. Al die reaksies is in analities rein metanol uitgevoer.

Die reaksietempokonstantes is bepaal deur die vormingstempo van [Rh(AA)(CO)(AsPh₃)] (AA = tropoloon, Oxq of DBM), met behulp van 'n Durrum Stop-vloeispektrofotometer waar te neem, sien paragraaf 1.2.6. Die reaksies is by verskillende golflengtes (waar die verskil in absorpsie van die uitgangsstof en die produk die grootste is en nie noodwendig by λ_{maks} van die uitganstof nie) gevolg. Die golflengtes waarby die reaksie gevolg is tesame met λ_{maks} van die uitgangstowwe en produkte word in tabel 4.1 getabelleer.

'n Voorbeeld van die absorpsiespektra van [Rh(TROP)(CO)₂] en [Rh(TROP)(CO)(AsPh₃)] word in figuur 4.1 aangetoon.

Die konsentrasie van die trifeniellarsien is vir al die reaksies in 'n groot oormaat met betrekking tot die konsentrasie van die rodiumkompleks geneem om sodoende pseudo-eerste-orde kondisies te verkry.

4.2 RESULTATE EN BESPREKING

Kinetiese metings is uitgevoer deur die konsentrasie van die rodiumkomplekse en van die AsPh_3 by verskillende temperature te wissel. Voorlopige werk het getoon dat die waargenome tempokonstantes afhanklik is van die $[\text{Rh}(\text{AA})(\text{CO})_2]$ -konsentrasie. Om hierdie rede was dit dus noodsaaklik om die effek van die konsentrasie van die rodiumkompleks op die reaksietempo te bepaal om sodoende die eksperimentele tempowet te bepaal. Die $[\text{AsPh}_3]$ was vir al die reaksies in 'n groot oormaat teenwoordig om sodoende pseudo-eerste-orde kondisies te verseker. Die eksperimentele resultate word in tabelle 4.2, 4.3 en 4.4 aangegee.

Deur die wisseling van die konsentrasie van die rodiumkompleks is bevind dat die reaksie nie volkome eerste-orde met betrekking tot die rodiumkomplekskonsentrasie is nie, (sien tabelle 4.2, 4.3 en 4.4), alhoewel grafieke van $\log(V_\infty - V_t)$ teen tyd lineêr is. Soortgelyke resultate is verkry deur Robb en Nicholson³⁴⁾ vir die reaksie tussen bis(siklookta - 1,5-dieen) - $\mu\mu'$ -dichlorodiroidium(I) en 2,2'-bipiridiel. Uit die resultate in tabelle 4.2, 4.3 en 4.4 is dit duidelik dat die reaksie neig na tweede-orde met betrekking tot die konsentrasie van die rodiumkompleks. Omdat die reaksie egter nie heeltemal tweede-orde met betrekking tot die [rodiumkompleks] is nie, is dit duidelik (soos ook aangetoon sal word) dat daar twee gelyktydige reaksies plaasvind. Die een is eerste-orde met betrekking tot die konsentrasie van die rodiumkompleks en die ander een tweede-orde met betrekking tot die [rodiumkompleks]. Die eerste een integreer dus na

$$\frac{\ln \left[\text{Rh(AA)}(\text{CO})_2 \right]_0}{\left[\text{Rh(AA)}(\text{CO})_2 \right]_t} = k^1 t \text{ en die ander na}$$

$$\frac{1}{\left[\text{Rh(AA)}(\text{CO})_2 \right]} = k^{11} t. \text{ In die praktyk kan}$$

$$\frac{\ln \left[\text{Rh(AA)}(\text{CO})_2 \right]_0}{\left[\text{Rh(AA)}(\text{CO})_2 \right]_t} = k^{111} \left[\text{Rh(AA)}(\text{CO})_2 \right] t \text{ in plaas}$$

van laasgenoemde vergelyking gebruik word. Dit verklaar dus die waargenome lineêre verband tussen $\log (V_\infty - V_t)$ en tyd.

Uit die resultate in tabelle 4.2, 4.3 en 4.4 blyk dit dat daar 'n lineêre verband tussen k_{wg} en $[\text{AsPh}_3]$ is. 'n Voorbeeld van hierdie lineêre verwantskap word in figuur 4.2 aangetoon. Die effek van die $[\text{AsPh}_3]$ op k_{wg} kan dus deur die volgende vergelyking voorgestel word.

$$k_{wg} = a + b[\text{AsPh}_3] \dots \dots \dots \dots \dots \quad 4.1$$

Die waardes van a en b (soos grafies bepaal deur middel van vergelyking 4.1) by die verskillende temperature word in tabelle 4.5, 4.6 en 4.7 aangegee.

Uit die resultate in tabelle 4.5, 4.6 en 4.7 blyk dit dat a naastenby onafhanklik van die konsentrasie van die rodium-kompleks is. Omdat die waardes van a vanaf die afsnit van die grafiek van k_{wg} teen $[\text{AsPh}]$ bepaal is, is die fout egter baie groot.

Uit die resultate in tabelle 4.5, 4.6 en 4.7 blyk dit dat daar 'n lineêre verband tussen b en die konsentrasie van die ro-

diumkompleks bestaan. ('n Voorbeeld word in figuur 4.3 aangebeeld). Die verband tussen b en [rodiumpkompleks] word dus gegee deur

$$b = m + n [\text{Rh(AA)(CO)}_2] \dots \dots \dots \dots \dots \quad 4.2$$

Indien vergelyking 4.2 in vergelyking 4.1 gestel word, volg dit dat:

$$k_{wg} = a + m[\text{AsPh}_3] + n[\text{Rh(AA)(CO)}_2][\text{AsPh}_3]$$

Die reaksietempo word dus gegee deur:

$$\text{Tempo} = a[\text{Rh(AA)(CO)}_2] + m[\text{Rh(AA)(CO)}_2][\text{AsPh}_3] + \\ n[\text{Rh(AA)(CO)}_2]^2 [\text{AsPh}_3] \dots \dots \dots \dots \dots \quad 4.3$$

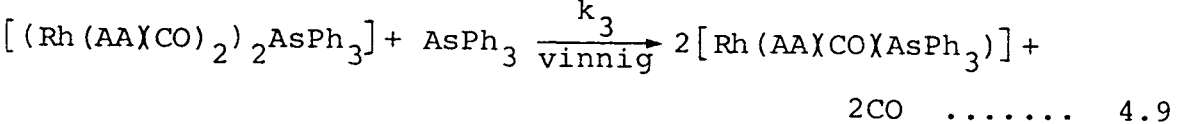
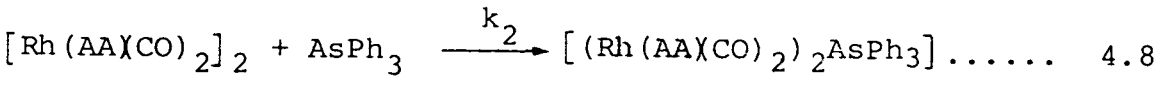
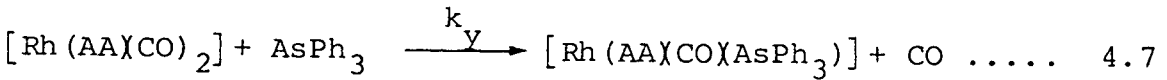
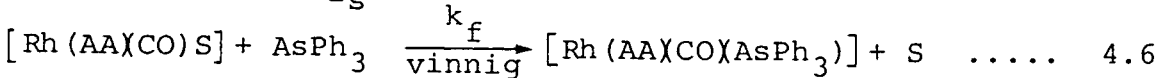
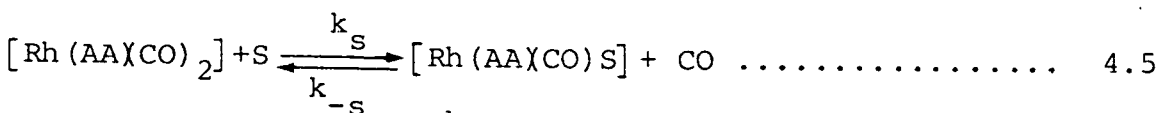
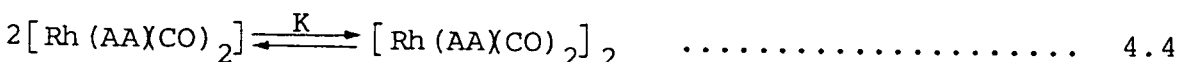
Vergelyking 4.3 is dus die empiriese snelheidsvergelyking. Die waardes van a, m en n vir die verskillende reaksies word in tabel 4.8 by drie temperature aangetoon.

Omdat die waardes van a vanaf die afsnit van die grafiek van k_{wg} teen $[\text{AsPh}_3]$ en m vanaf die afsnit van die grafiek van b teen [rodiumpkompleks] bepaal is, is die fout van a en m betreklik groot. Die aktiveringsparameters is dus slegs vir n bepaal soos beskryf in paragraaf 1.2.5. 'n Voorbeeld van die grafiek van $\log \frac{n}{T}$ teen $\frac{1}{T}$ word in figuur 4.4 aangetoon. Die waardes van ΔH en ΔS vir n vir die verskillende komplekse word in tabel 4.9 aangegee.

Ten einde aan die doel van die ondersoek te voldoen is dit nodig om 'n reaksiemeganisme vir die substitusiereaksie van die rodiumpkomplekse met AsPh_3 in metanol voor te stel en aan

te toon in hoeverre die eksperimentele resultate met die teoretiese beskouing ooreenstem.

Uit die voorafgaande bespreking is dit duidelik dat daar drie gelyktydige reaksies plaasvind. Die volgende reaksie mekanisme kan dus in ooreenstemming met die eksperimentele resultate voorgestel word.



Die vorming van $[\text{Rh(AA(CO)(AsPh}_3)]$ volgens reaksies 4.5, 4.6 en 4.7 stel die normale verloop van vierkantig-planêre substitusiereaksies voor, sien paragraaf 2.2. Volgens hierdie reaksies word die vormingstempo van $[\text{Rh(AA(CO)(AsPh}_3)]$ (soos in paragraaf 2.2 aangetoon) gegee deur

$$R = k_s [\text{Rh(AA(CO)}_2] + k_y [\text{Rh(AA(CO)}_2] [\text{AsPh}_3].$$

Indien die ewewigkonstante, K, relatief klein is, word die vormingstempo van $[\text{Rh(AA(CO)(AsPh}_3)]$ volgens reaksies 4.4, 4.8 en 4.9 gegee deur $R = k_2 K [\text{Rh(AA(CO)}_2]^2 [\text{AsPh}_3]$. Die totale vormingstempo van $[\text{Rh(AA(CO)(AsPh}_3)]$ word dus gegee deur:

$$R = k_s [\text{Rh(AA(CO)}_2] + k_y [\text{Rh(AA(CO)}_2] [\text{AsPh}_3] + k_2 K [\text{Rh(AA(CO)}_2]^2 [\text{AsPh}_3] \quad \dots \quad 4.10$$

Hierdie vergelyking is dieselfde as die empiriese vergelyking 4.3 (met $a = k_s$, $m = k_y$ en $n = k_2 K$). Dit toon dus dat die voorgestelde reaksiemeganisme (reaksie 4.2 - 4.9) in ooreenstemming met die eksperimentele resultate is.

---oooOooo---

TABEL 4.1

GOLFLENGTES WAARBY DIE REAKSIES GEVOLG IS TESAME MET

— λ_{maks} VAN DIE UITGANGSTOWWE EN PRODUKTE

$[\text{Rh}(\text{AA})(\text{CO})_2]$	$\lambda_{\text{eks}} \text{ (nm)}$	$\lambda_{\text{maks}} \text{ (nm)}$ Uitgang- stof	ϵ_{maks} ($\text{dm}^3 \text{mol}^{-1} \text{cm}^{-1}$)	$\lambda_{\text{maks}} \text{ (nm)}$ produk	ϵ_{maks} ($\text{dm}^3 \text{mol}^{-1} \text{cm}^{-1}$)
$[\text{Rh}(\text{TROP})(\text{CO})_2]$	410	340	15 260	338	13 240
$[\text{Rh}(\text{Oxq})(\text{CO})_2]$	345	410	6 567	345	6 253
$[\text{Rh}(\text{DBM})(\text{CO})_2]$	410	360	10 733	352	8 067

TABEL 4.2

PSEUDO-EERSTE-ORDE REAKSIETEMPOKONSTANTES (s^{-1}) VIR DIE REAKSIE $[Rh(TROPXCO)_2] + AsPh_3 \rightarrow [Rh(TROPXCOXAsPh_3)] + CO$

$[Rh(TROPXCO)_2] \times 10^4$ (mol dm $^{-3}$)	$[AsPh_3] \times 10^3$ (mol dm $^{-3}$)							TEMPERATUR (K)
	2,4	3,0	3,6	4,2	4,8	5,4	6,0	
0,5	0,614	0,912	0,998	1,09	1,25	1,29	1,32	287,2
1,0	1,12	1,24	1,15	1,29	1,38	1,34	1,42	287,2
1,5	1,21	1,59	1,54	1,69	1,78	1,84	1,99	287,2
2,0	1,46	1,61	1,65	1,88	2,11	2,30	2,17	287,2
2,5	1,68	1,83	1,97	2,12	2,27	2,41	2,56	287,2
0,5	0,992	1,09	1,20	1,30	1,41	1,51	1,61	298,1
1,0	0,944	1,15	1,21	1,31	1,52	1,74	1,84	298,1
1,5	1,980	1,66	2,21	2,58	2,72	2,95	3,13	298,1
2,0	2,03	2,30	2,67	2,76	3,04	3,22	3,40	298,1
2,5	2,40	2,67	2,95	3,32	3,59	3,89	4,05	298,1
0,5	1,58	1,84	2,07	2,30	2,44	2,73	2,84	307,1
1,0	2,23	2,49	2,76	3,04	3,13	3,30	3,45	307,1
1,5	2,53	3,15	3,53	3,84	4,15	4,30	4,68	307,1
2,0	3,22	3,61	3,92	4,30	4,61	4,99	5,22	307,1
2,5	3,84	4,22	4,68	5,07	5,45	5,53	5,68	307,1

TABEL 4.3

PSEUDO-EERSTE-ORDE REAKSIETEMPOKONSTANTES (s^{-1}) VIR DIE REAKSIE $[Rh(Oxq)(CO)_2] + AsPh_3 \rightarrow [Rh(Oxq)(CO)(AsPh_3)] + CO$

$[Rh(Oxq)(CO)_2] \times 10^4$ (mol dm $^{-3}$)	$[AsPh_3] \times 10^3$ (mol dm $^{-3}$)							TEMPE-RATUUR (K)
	2,4	3,0	3,6	4,2	4,8	5,4	6,0	
0,5	2,41	2,76	3,03	3,38	3,68	3,99	4,38	286,5
1,0	3,07	3,40	3,84	4,22	4,61	4,99	5,37	286,5
1,5	3,93	4,41	5,18	5,85	6,33	6,91	7,48	286,5
2,0	4,22	5,37	6,14	6,91	7,68	8,44	9,43	286,5
2,5	4,94	5,76	6,72	7,68	8,44	9,40	10,29	286,5
0,5	3,87	4,15	4,30	4,84	5,37	5,68	5,91	298,1
1,0	4,50	5,10	5,76	6,42	7,07	7,73	8,23	298,1
1,5	5,64	6,66	7,40	8,39	9,21	10,4	11,2	298,1
2,0	6,58	7,57	9,05	10,5	10,4	11,4	12,5	298,1
2,5	8,36	9,59	10,75	11,7	13,1	14,2	15,4	298,1
0,5	4,70	5,22	5,71	6,51	7,05	7,49	8,35	308,4
1,0	5,34	6,52	7,43	8,17	9,22	9,73	10,8	308,4
1,5	7,02	7,68	9,07	10,1	11,1	11,6	12,7	308,4
2,0	8,05	10,0	11,9	12,5	13,9	16,2	17,3	308,4
2,5	9,96	11,6	13,9	15,6	15,9	18,1	19,9	308,4

TABEL 4.4

PSEUDO-EERSTE-ORDE REAKSIETEMPOKONSTANTES (s⁻¹) VIR DIE REAK-
SIE [Rh(DBM)(CO)₂] + AsPh₃ → [Rh(DBM)(CO)(AsPh₃)₂] + CO

[Rh(DBM)(CO) ₂] x 10 ⁴ (mol dm ⁻³)	[AsPh ₃] x 10 ² (mol dm ⁻³)							TEMPE- RATUUR (K)
	0,4	1,0	1,6	2,2	3,2	3,8	4,0	
2,0	1,01	2,10	3,06	3,80	4,42	5,24	6,56	286,5
3,0	1,48	2,53	3,50	4,62	5,44	6,26	7,93	286,5
4,0	1,70	2,99	4,25	5,97	8,26	9,80	10,29	286,5
5,0	2,06	3,98	5,73	7,52	9,97	11,21	13,75	286,5
6,0	2,67	4,94	7,21	9,49	13,3	15,6	16,31	286,5
2,0	2,61	4,12	5,67	8,38	9,50	11,3	11,7	298,1
3,0	2,92	5,10	7,30	11,2	10,9	15,1	15,9	298,1
4,0	3,48	6,23	9,03	14,1	16,4	19,6	20,1	298,1
5,0	3,78	7,13	10,9	16,6	19,4	22,8	23,9	298,1
6,0	4,40	8,46	12,5	20,0	22,3	27,4	28,7	298,1
2,0	3,86	6,46	8,21	11,1	15,1	17,5	18,3	308,5
3,0	4,69	8,38	11,6	14,9	20,4	23,8	24,9	308,5
4,0	5,46	9,82	14,2	18,5	25,9	30,2	31,7	308,5
5,0	6,17	10,5	16,5	21,5	28,6	33,9	38,9	308,5
6,0	6,75	12,7	20,5	26,3	35,2	42,6	44,4	308,5

TABEL 4.5

DIE INVLOED VAN $[Rh(TROP)(CO)]_2$ OP a EN b

TEMPERATUUR (K)	$[Rh(TROP)(CO)]_2$ $\times 10^4$ (mol dm $^{-3}$)	$b \times 10^{-2}$ (dm 3 mol $^{-1}$ s $^{-1}$)	a (s $^{-1}$)
287,2	0,5	1,14	0,81
287,2	1,0	1,47	1,08
287,2	1,5	1,79	0,91
287,2	2,0	2,16	0,95
287,2	2,5	2,44	1,09
298,1	0,5	1,73	0,57
298,1	1,0	2,39	1,05
298,1	1,5	3,19	1,22
298,1	2,0	3,87	1,36
298,1	2,5	4,77	1,26
307,1	0,5	2,35	0,78
307,1	1,0	3,11	1,63
307,1	1,5	4,68	1,75
307,1	2,0	5,81	1,84
307,1	2,5	6,78	2,21



267709

TABEL 4.6

DIE INVLOED VAN DIE $[Rh(Oxq)(CO)_2]$ OP a EN b

TEMPERATUUR (K)	$[Rh(Oxq)(CO)_2]$ $\times 10^4$ (mol dm $^{-3}$)	$b \times 10^{-2}$ (dm 3 mol $^{-1}$ s $^{-1}$)	a (s $^{-1}$)
286,5	0,5	5,36	1,13
286,5	1,0	6,40	1,54
286,5	1,5	10,0	1,53
286,5	2,0	13,9	1,06
286,5	2,5	14,9	1,33
298,1	0,5	6,43	2,15
298,1	1,0	10,6	1,96
298,1	1,5	15,4	1,95
298,1	2,0	16,1	2,70
298,1	2,5	19,5	3,70
308,4	0,5	10,0	2,22
308,4	1,0	14,6	2,05
308,4	1,5	17,6	2,65
308,4	2,0	25,2	2,28
308,4	2,5	26,6	3,82

TABEL 4.7

DIE INVLOED VAN DIE [Rh(DBM)(CO)₂] OP a EN b

TEMPERATUUR (K)	[Rh(DBM)(CO) ₂] x 10 ⁴ (mol dm ⁻³)	b x 10 ⁻² (dm ³ mol ⁻¹ s ⁻¹)	a (s ⁻¹)
286,5	2,00	1,25	0,91
286,5	3,00	1,37	1,04
286,5	4,00	2,40	0,67
286,5	5,00	2,67	1,29
286,5	6,00	3,79	1,15
298,1	2,00	2,52	1,58
298,1	3,00	3,58	1,50
298,1	4,00	4,64	1,63
298,1	5,00	5,58	1,55
298,1	6,00	6,76	1,70
308,5	2,00	4,01	2,21
308,5	3,00	5,55	2,67
308,5	4,00	7,28	2,55
308,5	5,00	8,63	2,32
308,5	6,00	10,4	2,89

TABEL 4.8

WAARDES VAN a, m EN n VIR DIE VERSKILLENDÉ KOMPLEKSE BY DIE
VERSKILLENDÉ TEMPERATURE

KOMPLEKS	TEMPERATUUR (K)	a (s ⁻¹)	n × 10 ⁻⁵ (dm ⁶ mol ⁻² s ⁻¹)	m (dm ³ mol ⁻¹ s ⁻¹)
[Rh(TROP)(CO) ₂]	287,2	0,983	6,58	80,9
	298,1	1,220	15,7	81,3
	307,1	1,710	23,1	110
[Rh(Oxq)(CO) ₂]	286,5	1,24	53,3	212
	298,1	1,95	63,2	411
	308,4	2,27	87,6	567
[Rh(DBM)(CO) ₂]	286,5	1,04	6,38	0
	298,1	1,58	10,6	40,5
	308,5	2,55	15,9	83,5

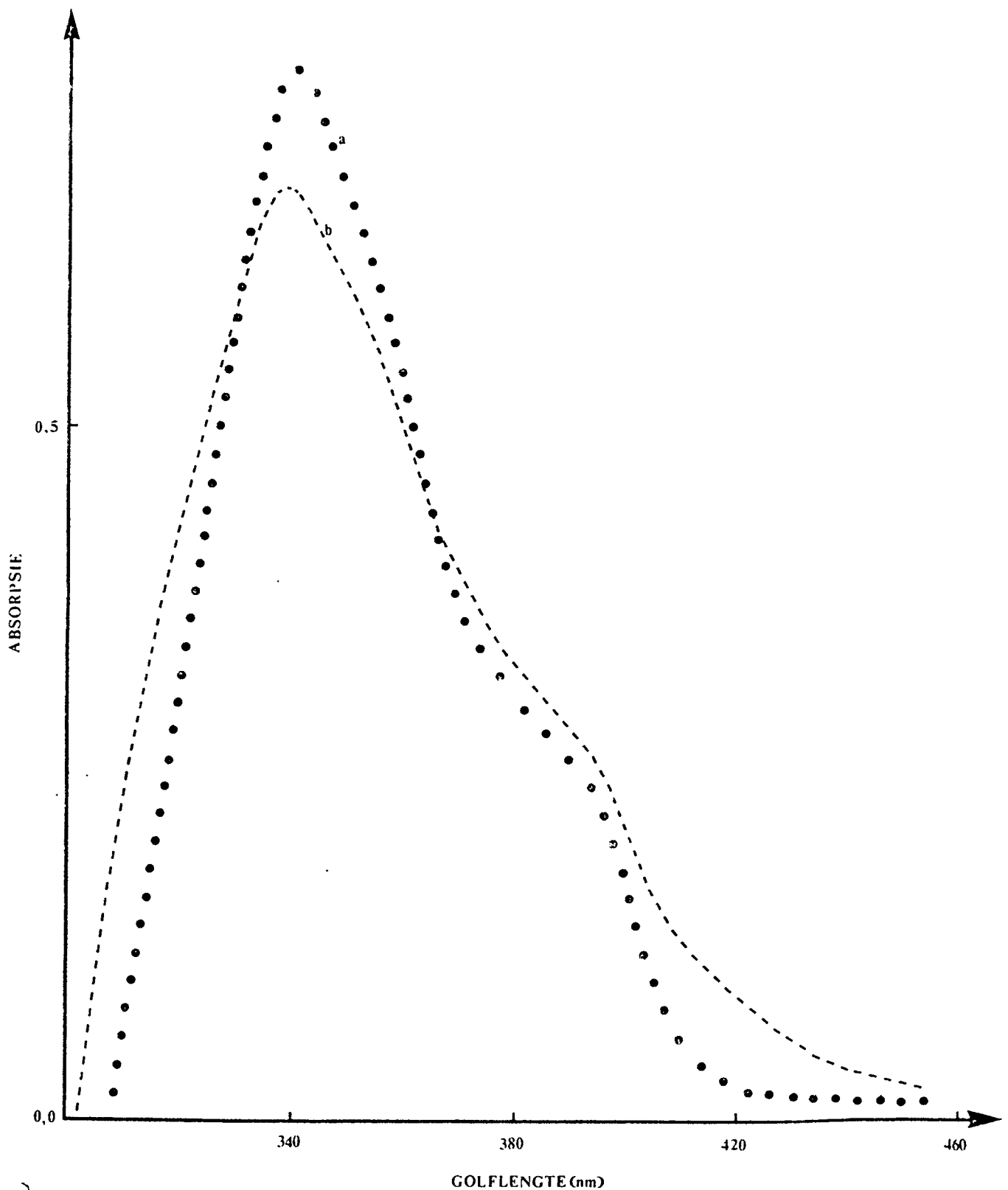
TABEL 4.9

DIE WAARDES VAN ΔH EN ΔS VIR DIE VERSKILLENDÉ KOMPLEKSE

KOMPLEKS	ΔH (kJ mol ⁻¹)	ΔS (J K ⁻¹ mol ⁻¹)
[Rh(TROP)(CO) ₂]	44,6	23,3
[Rh(Oxq)(CO) ₂]	14,0	- 67,8
[Rh(DBM)(CO) ₂]	28,2	- 35,0

FIGUUR 4.1

ABSORPSIESPEKTRUM VAN (a) 0,00005 mol dm⁻³ [Rh(TROP)(CO)₂]
EN (b) 0,00005 mol dm⁻³ [Rh(TROP)(CO)(AsPh₃)]

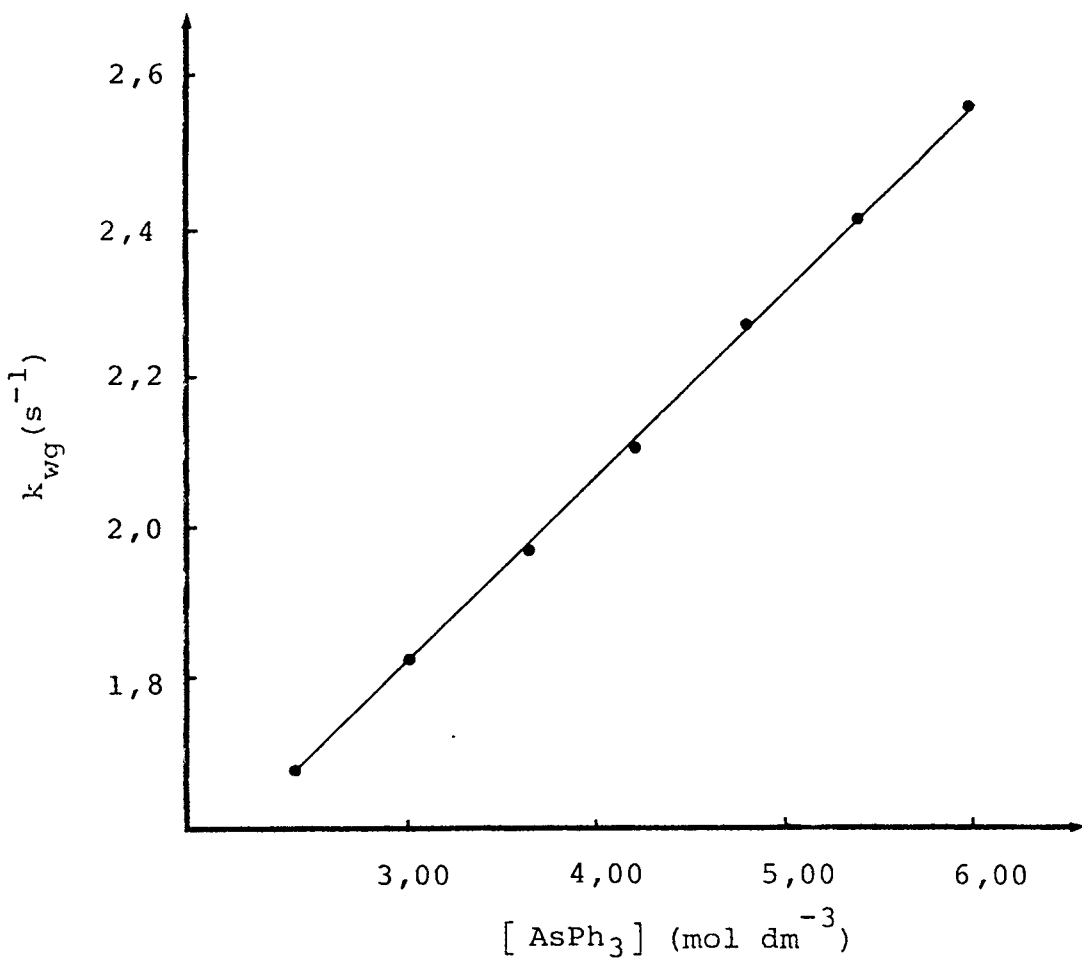


FIGUUR 4.2

GRAFIEK VAN k_{wg} TEEN $[AsPh_3]$

$$[Rh(TROPICO)_2] = 2,5 \times 10^{-4} \text{ (mol dm}^{-3})$$

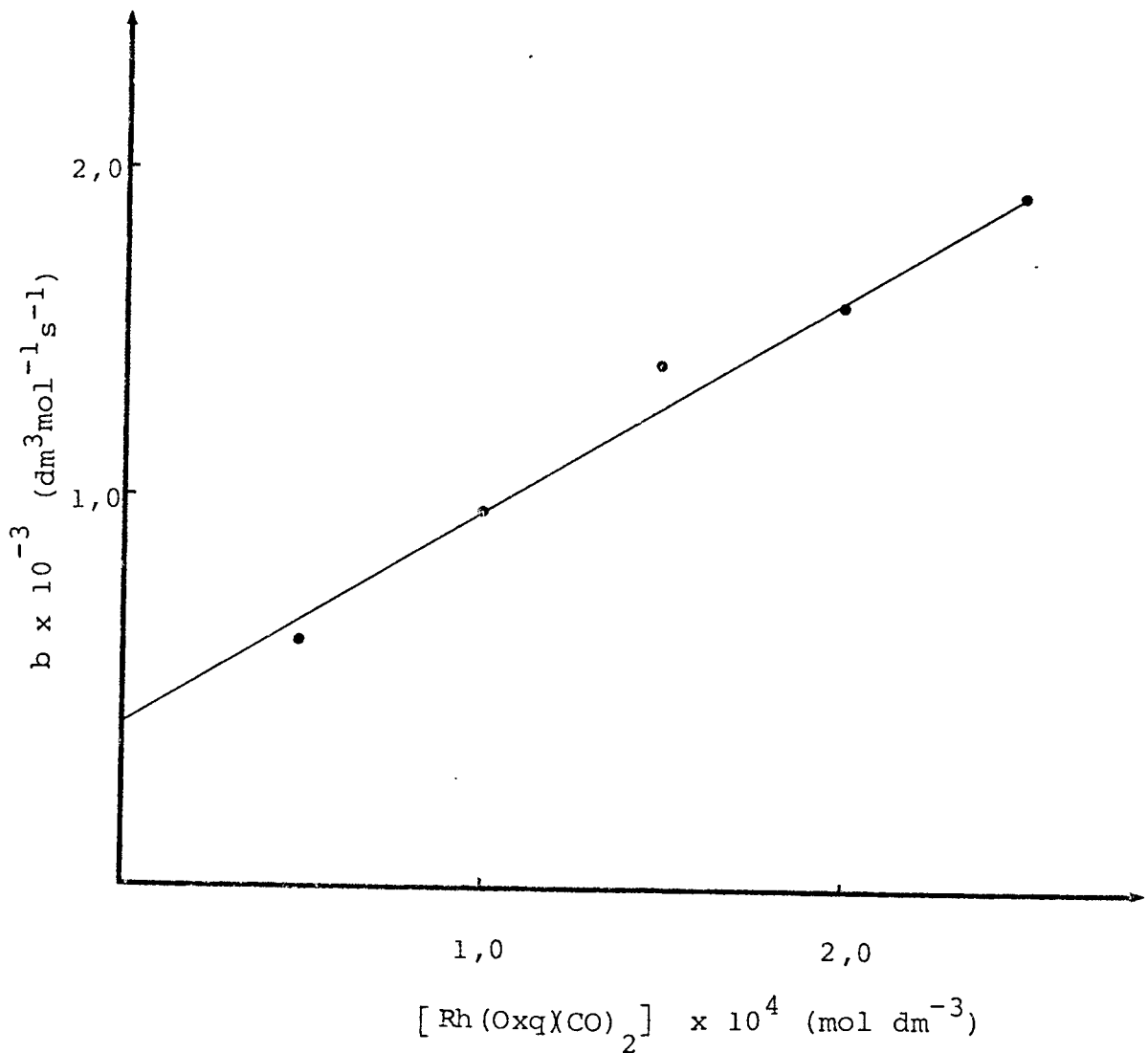
$$\text{Temperatuur} = 287,2 \text{ (K)}$$



FIGUUR 4.3

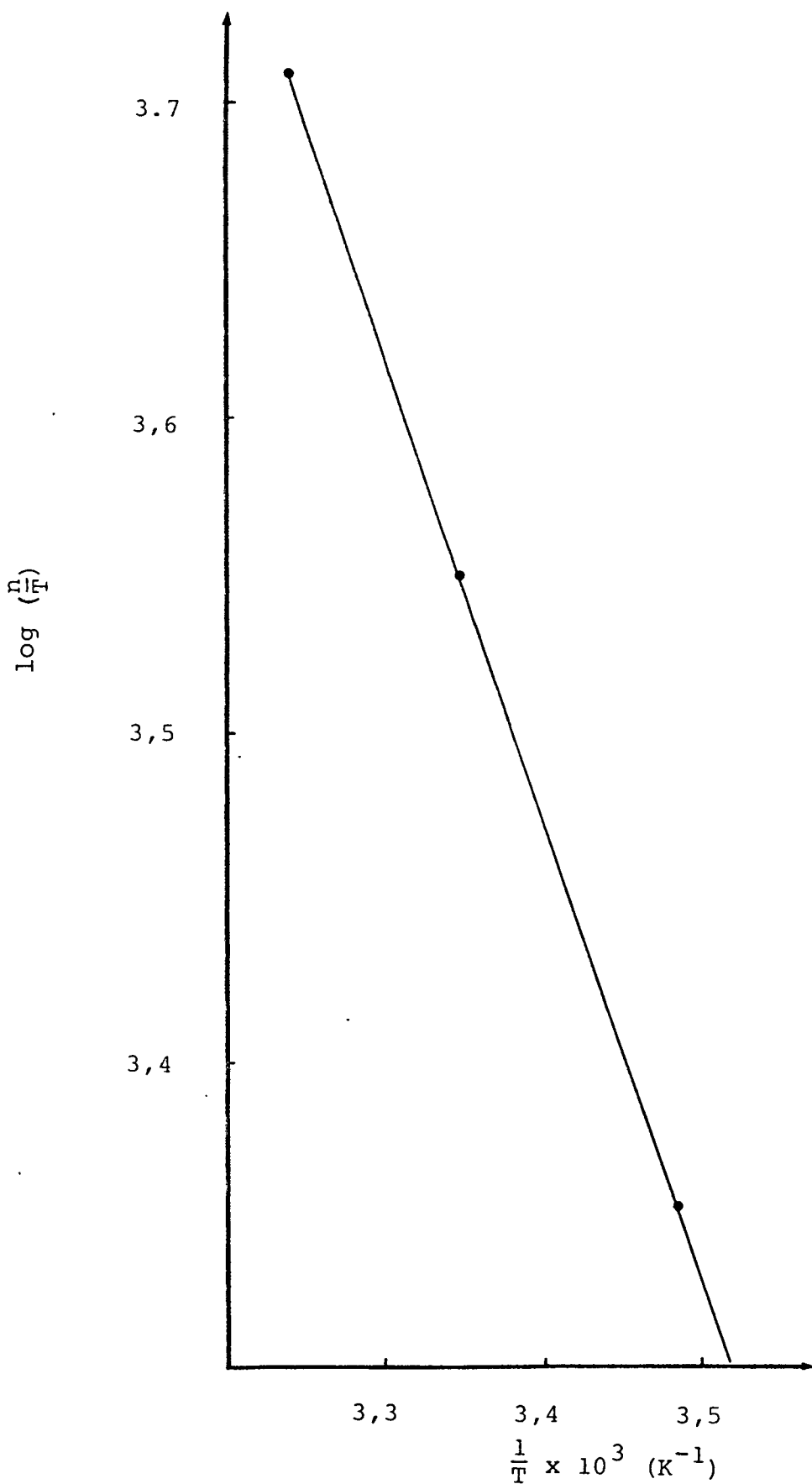
GRAFIEK VAN $[\text{Rh}(\text{Oxq})(\text{CO})_2]$ TEEN b

Temperatuur = 298,1 (K)



FIGUUR 4.4

GRAFIEK VAN $\log\left(\frac{n}{T}\right)$ TEEN $\frac{1}{T}$ VAN $[\text{Rh}(\text{DBM})(\text{CO})_2]$



HOOFSTUK 5

SUBSTITUSIEREAKSIES VAN TROPOLONATOKARBONIELTRIFENIELARSIENRODIUM(I) MET TTA IN BENSEENMEDIUM

5.1 Eksperimenteel

Die verbinding $[\text{Rh}(\text{TROP})(\text{CO})(\text{AsPh}_3)]$ is berei soos in hoofstuk 3 beskryf en herkristalliseer uit metanol. Die ander reagense was van analitiese graad.

Die reaksie van $[\text{Rh}(\text{TROP})(\text{CO})(\text{AsPh}_3)]$ met TTA is 'n relatiewe stadige substitusiereaksie. Die reaksieverloop is met behulp van 'n Pye Unicam Sp 1700 dubbelstraalspektralofotometer by 428 nm gevolg. By hierdie golflengte is die verskil in die absorpsie van die uitgangsstof en van die produk die grootste.

Die konsentrasie van die TTA is vir al die reaksies in 'n groot oormaat met betrekking tot die konsentrasie van die rodiumkompleks geneem om sodoende pseudo-eerste-orde kondisies te verkry.

Die spektrofotometer is met 'n deurvloeiblok toegerus waardeur 'n konstante stroom water vanaf 'n termostaatbad (Fryka Kaltetechnik KB 300) gepomp is.

----ooooooo----

5.2 RESULTATE EN BESPREKING

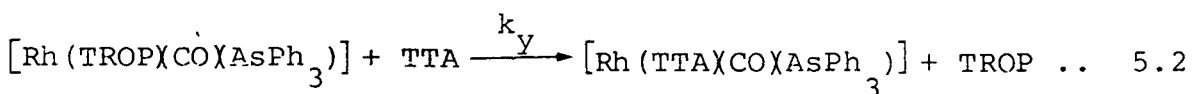
Om seker te maak dat die reaksie eerste-orde met betrekking tot die [rodiumpkompleks] is, is kinetiese metings uitgevoer met wisselende $[Rh(TROP(CO)AsPh_3)]$ -konsentrasies by 'n konstante [TTA] en konstante temperatuur. Die TTA was in al die gevalle in 'n groot oormaat teenwoordig om sodoende pseudo-eerste-orde kondisies te verkry. Die lineêre verband tussen $\log(A_\infty - A_t)$ en tyd ('n voorbeeld word in figuur 5.1 aangevoer) en die feit dat k_{wg} onafhanklik van die rodiumpkompleks-konsentrasie is, sien tabel 5.1, toon dat die reaksie eerste-orde met betrekking tot die [rodiumpkompleks] is.

Kinetiese metings is uitgevoer met wisselende [TTA] by 'n konstante $[Rh(TROP(CO)AsPh_3)]$ -konsentrasie by verskillende temperature. Hierdie resultate word in tabel 5.2 aangegee. 'n Voorbeeld van die effek van die [TTA] op die pseudo-eerste-orde reaksietempokonstantes word in figuur 5.2 aangegee. Die resultate in tabel 5.2 (sien ook figuur 5.2) toon dat die waargenome reaksietempokonstante, k_{wg} , gegee word deur $k_{wg} = k_y[TTA]$. Hiervolgens word die empiriese tempowet gegee deur

$$Tempo = k_y[Rh(TROP(CO)AsPh_3)][TTA] \dots\dots\dots 5.1$$

Die waardes van k_y soos grafies bereken met behulp van die vergelyking $k_{wg} = k_y[TTA]$ by die verskillende temperature word in tabel 5.3 aangegee. Die aktiveringsparameters is vanaf hierdie resultate bereken soos beskryf in paragraaf 1.2.5 (sien figuur 5.3). Die waardes van ΔH en ΔS is $57,6 \text{ kJ mol}^{-1}$ en $-78,8 \text{ JK}^{-1}\text{mol}^{-1}$ onderskeidelik.

Ten einde aan die doel van hierdie ondersoek te voldoen, is dit nodig om 'n reaksiemeganisme vir die substitusiereaksies van die rodiumkompleks met TTA in benseen voor te stel en aan te toon in hoeverre die eksperimentele resultate met die teoretiese beskouing ooreenstem. Die volgende reaksiemeganisme kan in ooreenstemming met die eksperimentele resultate voorgestel word:



Die vorming van $[\text{Rh}(\text{TTA}(\text{CO})(\text{AsPh}_3)]$ volgens bovenoemde reaksiestel, met die uitsondering van die solveringstap, die normale verloop van vierkantig-planêre substitusiereaksies voor, sien paragraaf 2.2. Volgens hierdie meganisme word die vormingstempo van $[\text{Rh}(\text{TTA}(\text{CO})(\text{AsPh}_3)]$ gegee deur

$$R = k_y [\text{Rh}(\text{TROP}(\text{CO})(\text{AsPh}_3)] [\text{TTA}] \dots \quad 5.3$$

Die invloed van die oplosmiddel op die reaksietempo is dus weglaatbaar klein.

Hierdie vergelyking is dieselfde as die empiriese vergelyking 5.1. Dit toon dus dat die voorgestelde reaksiemeganisme in ooreenstemming met die eksperimentele resultate is.

Alhoewel nie aangetoon nie, vind reaksié 5.2 eintlik in twee stappe plaas aangesien twee bindings gebreek en twee bindings gevorm word. Die verloop van hierdie reaksié en die spesifieke isomeer wat gevorm word, word in hoofstuk 7 bespreek.

TABEL 5.1

DIE INVLOED VAN $[\text{Rh}(\text{TROP})(\text{CO})(\text{AsPh}_3)_3]$ OP DIE REAKSIETEMPO.

$$[\text{TTA}] = 2,4 \times 10^{-2} (\text{mol dm}^{-3})$$

Temperatuur = 298,5 (K)

$[\text{Rh}(\text{TROP})(\text{CO})(\text{AsPh}_3)_3] \times 10^4$ (mol dm ⁻³)	$k_{wg} \times 10^4$ (s ⁻¹)
6,0	9,4
5,4	9,3
4,8	9,4
4,2	9,4
2,6	9,5
3,0	9,4

TABEL 5.2

DIE INVLOED VAN DIE [TTA] OP DIE REAKSIETEMPO BY VERSKILLEN-
DE TEMPERATURE

$$[\text{Rh}(\text{TROP})(\text{CO})(\text{AsPh}_3)] = 3,0 \times 10^{-4} (\text{mol dm}^{-3})$$

TEMPERA-TUUR (K)	[TTA] $\times 10^2$ (mol dm $^{-3}$)	$k_{wg} \times 10^4$ (s $^{-1}$)	TEMPERA-TUUR (K)	[TTA] $\times 10^2$ (s $^{-1}$)	$k_{wg} \times 10^4$ (s $^{-1}$)
289,3	2,00	3,76	298,5	2,40	9,48
289,3	1,75	3,32	298,5	2,00	7,90
289,3	1,50	3,07	298,5	1,50	5,93
289,3	1,25	2,42	298,5	1,00	3,95
289,3	1,00	1,87	298,5	0,50	1,98
289,3	0,75	1,33	298,5	0,20	0,79
289,3	0,50	1,13	298,5	-	-
289,3	0,25	0,681	298,5	-	-
<hr/>					
293,7	2,00	5,60	303,7	2,00	11,9
293,7	1,75	5,13	303,7	1,75	10,0
293,7	1,50	4,40	303,7	1,50	8,55
293,7	1,25	3,65	303,7	1,00	5,27
293,7	1,00	2,90	303,7	0,75	3,38
293,7	0,75	1,85	303,7	0,50	2,73
293,7	0,50	1,38	303,7	0,20	1,50
293,7	0,25	0,863	303,7	-	-

TABEL 5.3

WAARDES VAN k_y BY DIE VERSKILLEnde TEMPERATURE

TEMPERATUUR	$k_y \times 10^2$ ($\text{dm}^3 \text{mol}^{-1} \text{s}^{-1}$)
289,3	1,76
293,7	2,87
298,5	3,95
303,7	5,91

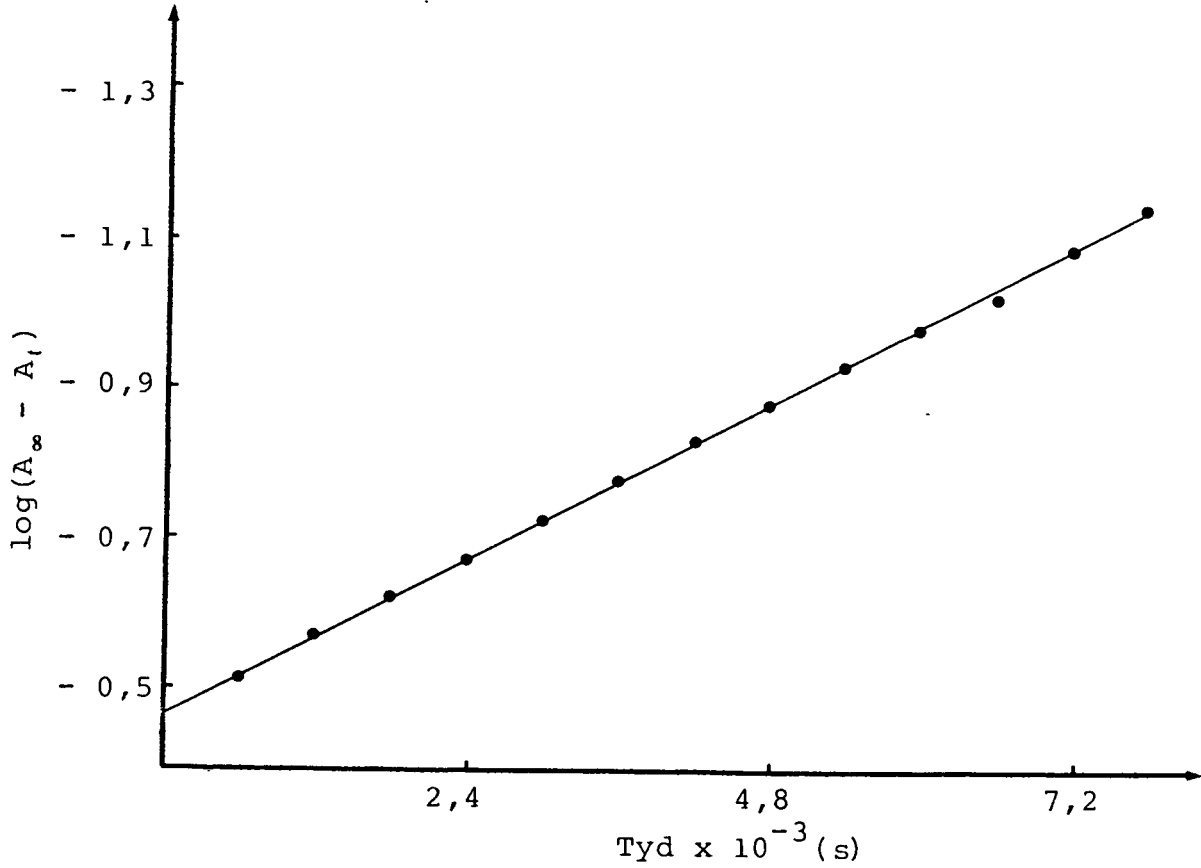
FIGUUR 5.1

GRAFIEK OM DIE LINEËRE VERBAND TUSSEN $\log(A_\infty - A_t)$ EN TYD
AAN TE DUI

$$[\text{TTA}] = 1,0 \times 10^{-2} (\text{mol dm}^{-3})$$

$$[\text{Rh(TROP)(CO)(AsPh}_3\text{)}] = 3,0 \times 10^{-4} (\text{mol dm}^{-3})$$

$$\text{Temperatuur} = 289,3 \text{ (K)}$$

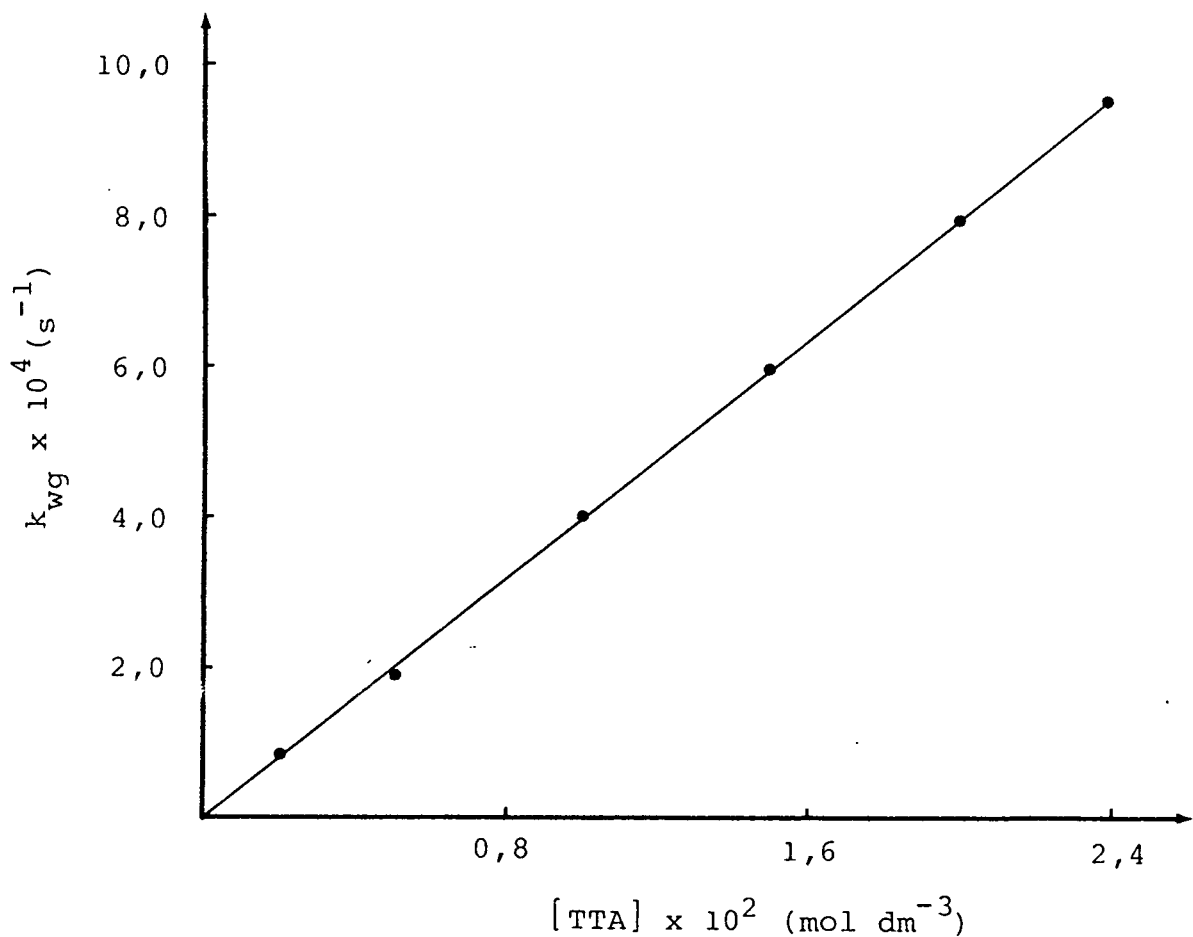


FIGUUR 5.2

GRAFIEK k_{wg} TEEN [TTA]

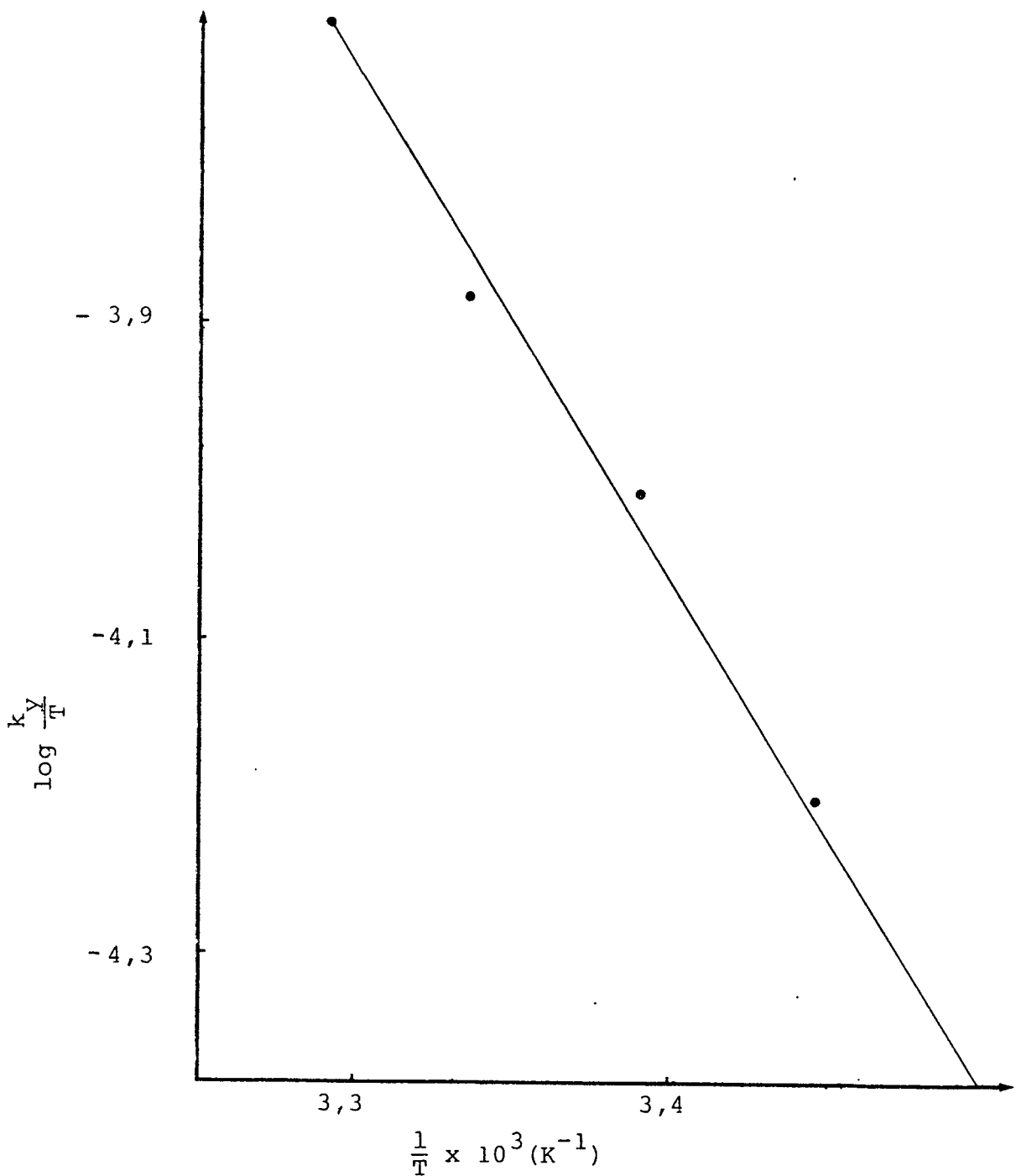
$$[\text{Rh}(\text{TROP})(\text{CO})(\text{AsPh}_3)] = 3,0 \times 10^{-4} (\text{mol dm}^{-3})$$

$$\text{Temperatuur} = 298,5 \text{ (K)}$$



FIGUUR 5.3

GRAFIEK VAN $\log \frac{k_Y}{T}$ TEEN $\frac{1}{T}$

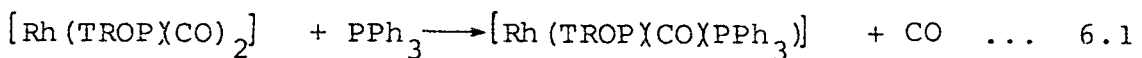


HOOFSTUK 6

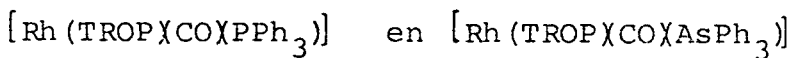
DIE KRISTALSTUKTUUR VAN TROPOLONATOKARBONIELTRIFENIELFOSFIEN-RODIUM(I)

6.1 Eksperimenteel

0,2g $[\text{Rh}(\text{TROP}(\text{CO})_2)]$, berei soos beskryf in paragraaf 3.2 is opgelos in 5 cm³ asetoon. 0,2g PPh₃ is by die oplossing gevoeg en gelaat om in te damp. Die gevorme $[\text{Rh}(\text{TROP}(\text{CO})(\text{PPh}_3)]$ is herkristalliseer uit metanol. Suiwer goedgevormde oranje kristalle is verkry. Die reaksie kan as volg voorgestel word:



Die eenheidseldimensies is bepaal met behulp van presessie-foto's met Cu(K α)-straling. Die verbinding kristalliseer uit in die trikliniese kristalstelsel met $a = 8,843 \text{ \AA}$, $b = 10,555 \text{ \AA}$, $c = 13,575 \text{ \AA}$, $\alpha = 88,951^\circ$, $\beta = 103,121^\circ$ en $\gamma = 96,056^\circ$. Die ruimtegroep is P $\bar{1}$ of P1. Eersgenoemde is korrek bewys deur die suksesvolle struktuuropklaring. X-Straal-poeierfoto's van

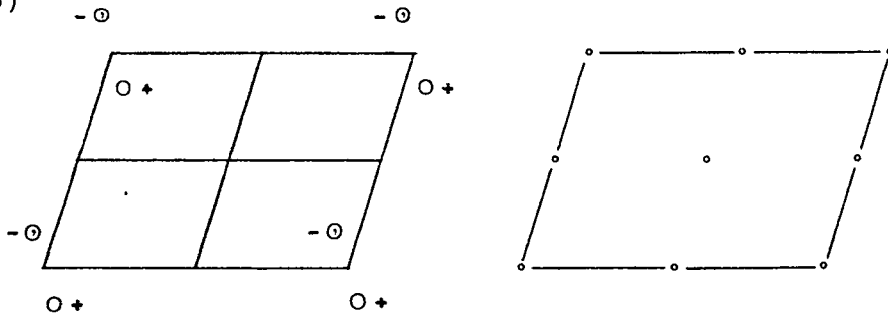


(laasgenoemde verbindung is op dieselfde wyse as eersgenoemde berei) het getoon dat hulle isomorf is.

Die digtheid van die betrokke kristalle is eksperimenteel met behulp van die flotasiemetode bepaal. 'n Paar kristalle van die verbindung is in 'n talliumformiaatoplossing (waarvan die digtheid hoër as dié van die kristalle was) geplaas sodat die

kristalle op die oppervlakte gedryf het. Water is drupsge-wys bygevoeg totdat die kristalle net vry gedryf het. Die digtheid van die kristalle is dus dieselfde as dié van die vloeistof. Die digtheid van die vloeistof is vervolgens met behulp van 'n gestandaardiseerde $2,00 \text{ cm}^3$ S.G.-flessie bepaal. Die digtheid van die kristalle is as $1,473 \text{ g cm}^{-3}$ bepaal.

Volgens die seldimensies en eksperimentele digtheid is die aantal molekule per eenheidsel bereken as $n = 2$, wat in ooreenstemming met die vereistes van die ruimtegroep $\bar{P}\bar{I}$ is. Die volgende is 'n skematische voorstelling van die ruimtegroep $\bar{P}\bar{I}$.²⁵⁾



Die molekulêre massa, bereken volgens die formule

$$M = \frac{DN \ abc}{n} \sqrt{1-\cos^2\alpha -\cos^2\beta -\cos^2\gamma + 2\cos\alpha \cos\beta \cos\gamma}$$

is 544,2. Dit is in redelike ooreenstemming met die teore-tiese waarde van 514,3.

Die driedimensionele intersiteitsdata is gemeet met 'n Philips P.W. 1100 viersirkel enkelkristal X-straaldiffraktometer Mo-(K α)-straling (met 'n grafietmonochromator) is gebruik vir die intensiteitsopname. Die refleksies is gemeet vir θ -waar-des tussen 3° en 23° . Drie refleksies is as standaard ge-bruk en na elke 60 refleksies weer gemeet. Geen ontbinding

van die kristal is tydens die opname bespeur nie. 'n Totaal van 3 415 onafhanklike refleksies is gemeet, waarvan 3 030 as waargeneem beskou is.

Die gemete intensiteite is gekorrigeer vir Lorentz- en polarisasie-effekte.

'n Kristal met afmetings $0,1 \times 0,2 \times 0,2 \text{ mm}^3$ is gebruik vir die intensiteitsopname.

Om te bepaal of dit nodig is om die gemete intensiteite te korrigieer vir die absorpsie van X-strale deur die kristal is dit nodig om die lineêre absorpsiekoëffisiënt vir die betrokke verbanding te bereken. Die volgende is 'n opsomming van die berekening van die lineêre absorpsiekoëffisiënt,

ELEMENT	P	$\frac{\mu}{\rho} \text{ cm}^2 \text{ g}^{-1}$	$P \left(\frac{\mu}{\rho} \right) \text{ cm}^2 \text{ g}^{-1}$
C	0,6072	0,625	0,3795
H	0,0392	0,38	0,0149
O	0,0933	1,31	0,1222
Rh	0,2001	22,6	4,5223
P	0,0602	7,89	0,4750

$$\sum P \left(\frac{\mu}{\rho} \right) = 5,5139 \text{ cm}^2 / \text{g}$$

$$\begin{aligned}\mu &= d \sum P \left(\frac{\mu}{\rho} \right) \\ &= 1,4725 \times 5,5139 \\ &= 8,119 \text{ cm}^{-1}\end{aligned}$$

P is die atoomfraksie van die betrokke element,

$\frac{\mu}{\rho}$ is die massa-absorpsiekoëfisiënt³⁶⁾ van die betrokke element en d is die digtheid van die verbinding. Vir die betrokke kristal wat gebruik is, (gemiddelde deursnit ongeveer 0,02 cm) is

$$\begin{aligned}\mu R &= 8,119 \times 0,02 \\ &= 0,162\end{aligned}$$

Aangesien dit slegs nodig is om absorpsiekorreksies aan te bring indien μR groter is as ongeveer 0,7³⁷⁾, is geen korreksies hiervoor aangebring nie.

Die gekorrigeerde intensiteite is gebruik vir die berekening van 'n driedimensionele Pattersonfunksie, sien paragraaf 1.3.3. Die koördinate van die rodiumatoom is vanaf die Pattersonfunksie bepaal. Die posisies van al die ander nie-waterstofatome is vervolgens vanaf 'n driedimensionele Fourier-analise bepaal, (fases van F_{hkl} gebaseer op die rodiumatoom).

Die koördinate en isotropiese temperatuurparameters van al die atome is vervolgens verfyn vir vier siklusse met behulp van 'n kleinste kwadrate verfyningsprogram. Die waarde van die betroubaarheidsfaktor, R,

$$(R = \frac{\sum ||F_O|| - ||F_C||}{\sum ||F_O||})$$

vir al die waargenome refleksies was in hierdie stadium 8,6%.

'n Verdere vyf siklusse van verfyning met anisotropiese temperatuurparameters vir al die atome het die waarde van R laat daal tot 5,8%. Geeneen van die posisioneleparameters het 'n verandering in posisie van meer as 0,3 maal sy standaardafwyking in die finale siklus ondervind nie. Dit toon dat die struktuur uit verfyn is. Die atoomverstrooiingsfaktore van al die

verskillende atome is verkry van die werk van Cromer en Waber³⁸⁾. Die finale berekende en eksperimentele struktuurfaktore vir al die refleksies word in tabel 6.1 aangegee. In die eerste kolom word die waarde van h aangegee, in die tweede F_O en in die derde F_C . Die fraksionele atoomkoördinate en termiese beweginsparameters tesame met hul standaardafwyking word in tabelle 6.2 en 6.3 aangegee.

---oooOooo---

6.2 Resultate en bespreking van die struktuur

Die nommeringsisteem van die atome in die molekuul word in figuur 6.1 aangetoon. Die bindingslengtes en bindingshoeke tesame met hul standaardafwyking word in tabelle 6,4 en 6,5 onderskeidelik aangegee.

Indien die tweevoudige as deur die tropoloonligand in aanmerking geneem word, kan die bindings in pare verdeel word. Hierdie pare met hul gemiddelde bindingslengtes word in tabel 6.6 aangegee.

Uit die waardes in tabel 6.6 is dit duidelik dat die C-O bindings van die tropoloonligand betrokke is in die delokaliseering van die π -elektrondigtheid (oor die chelaat- en sewelidring) wat kenmerkend is van 'n aromatiese sisteem, veral ten koste van die unieke C(2) - C(3) binding (1,461 \AA).

Hamor en Watkin ³⁹⁾ het daarop gewys dat hierdie binding nooit korter as 1,48 \AA , die voorgestelde bindingslengte vir 'n suiwer σ -binding tussen twee trigonaalverbasterde koolstofatome, behoort te wees nie.

'n Sterk metaalsuurstofbinding gaan gewoonlik gepaard met 'n verlenging van die C-O bindingslengte en met 'n effense verkorting van die C(2) - C(3) binding. Hierdie effek is duidelik waarneembaar as genoemde twee bindingslengtes in natrium-tropolonaat ^{40,41)} en in [Rh(TROP) COXPPPh_3] (sien tabel 6.6) vergelyk word. Vir elk van die vyf bindingstipes in die tropoloonligand is die afwyking van die individuele bindingsaf-

stande vanaf die gemiddelde waardes kleiner as die standaardafwyking. Daar is dus geen getuienis van 'n verskil in lengtes in genoemde pare (sien tabel 6.6) soos wat gevind is in die geval van bis(tropolonato)koper(II)⁴²⁾ nie. Hierdie resultaat is egter in ooreenstemming met die resultate van die struktuurbepaling van Th(TROP)₄DMF⁴³⁾.

Die C-C-C bindingshoeke van die seweledige ring varieer tussen 126° en 132,5° en volg min of meer die patroon van drie kleiner en vier groter hoeke soos waargeneem in ander tropoloon-komplekse^{39,40,44)}. Die som van die sewe hoeke is 899,9° wat 'n aanduiding van die planariteit van die seweledige ring is.

Die berekening van die beste vlakke deur die seweledige ring en die vyfledige chelaatring (sien tabel 6.7) toon dat hulle planēr is binne die eksperimentele fout. Die hoek tussen genoemde vlakke (bereken soos beskryf in paragraaf 1.3.5) is 2,1°. Die twee vlakke is dus ko-planēr.

Die fosforatoom word tetrahedries omring deur die rodiumatoom en die koolstofatome van die drie feniellinge. Die gemiddelde P-C bindingslengte is 1,826 Å. Dit stem baie goed ooreen met die gemiddelde waarde gevind in [Rh(TTA)(CO)(PPh₃)]⁴⁵⁾.

Die berekening van die beste vlakke deur die drie feniellinge toon dat hulle byna volkome platvlakkig is, sien tabel 6.7. Al die bindingshoeke in die feniellinge is 120° binne die eksperimentele fout. Die gemiddelde C-C bindingslengte in die feniellinge is 1,401 Å wat in goeie ooreenstemming is met die normale waarde van 1,394 Å vir 'n aromatiese C-C binding⁴⁶⁾.

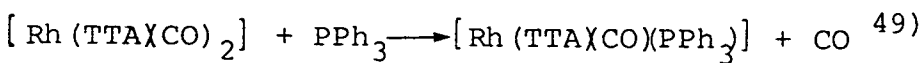
Die berekening van die beste vlak deur Rh, O(1), O(2), C(1) en P toon dat die koördinasiepoliëder nagenoeg platvlakkig is.

Die ligand-Rh-ligand bindingshoeke wyk egter baie af van 90° , sien tabel 6.5. Hierdie verwroging kan toegeskryf word aan die klein knyphoek ($77,8^\circ$) van die vyfledige chelaatring. Die som van die vier ligand-Rh-ligand bindingshoeke is egter 360° wat 'n bevestiging van die planariteit van die koördinasiepoliëder is. Die Rh-C-O binding is ongeveer lineêr ($176,2^\circ$). Die Rh-C en C-O bindingslengtes is $1,797\text{\AA}$ en $1,151\text{\AA}$ onderskeidelik. Dit is in goeie ooreenstemming met die Rh-C en C-O bindingslengtes in $[\text{Rh}(\text{asas}\text{XCO}\text{PPh}_3)]$.⁴⁷⁾

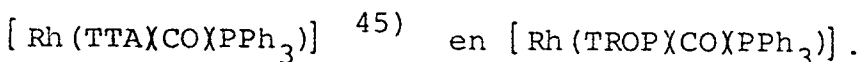
Aangesien die twee suurstofatome in die tropoloonligand chemies ekwivalent is, is dit redelik om te verwag dat die twee Rh-O bindingslengtes in 'n simmetriese molekuul soos $[\text{Rh}(\text{TROP}\text{XCO})_2]$ dieselfde sal wees. Dit is dan ook eksperimenteel bevind in 'n soortgelyke molekuul, naamlik $[\text{Rh}(\text{asas}\text{XCO})_2]$ ⁴⁸⁾ waar die twee Rh-O afstande $2,040\text{\AA}$ en $2,044\text{\AA}$ is. In die geval van $\text{Th}(\text{TROP})_4$ DMF⁴³⁾ is die Th-O afstand ook binne die eksperimentele fout dieselfde. Die betekenisvolle verskil in die twee Rh-O afstande in $[\text{Rh}(\text{TROP}\text{XCO}\text{PPh}_3)]$ ($\text{Rh} - \text{O}(1) = 2,034(7)\text{\AA}$ en $\text{Rh} - \text{O}(2) = 2,081(7)\text{\AA}$) is dus as gevolg van die relatiewe transeffekte van die karboniel- en die trifenielfosfiengroepe en toon dat laasgenoemde ligand 'n groter transeffek as eersgenoemde het.

Die resultate van die kristalstruktuurbepaling van

[Rh(TTA)(CO)(PPh₃)]⁴⁵⁾ het getoon dat die suurstofatoom die naaste aan die CF₃-groep die kleinste transeffek het, aangesien dit bevind is dat die CO-groep trans ten opsigte van genoemde suurstofatoom nie verplaas word in die reaksie



nie. Dit is in ooreenstemming met die polarisasieteorie (sien paragraaf 2.3.1.1) en die σ-transeffek (sien paragraaf 2.3.1.2) aangesien die suurstofatoom die naaste aan die CF₃-groep die minste polariseerbaar en 'n swakker σ-donor sal wees weens die elektrononttrekkende vermoë van die CF₃-groep. 'n Ondersteuning vir hierdie bevinding word gevind in die vergelyking van die Rh-C afstande in

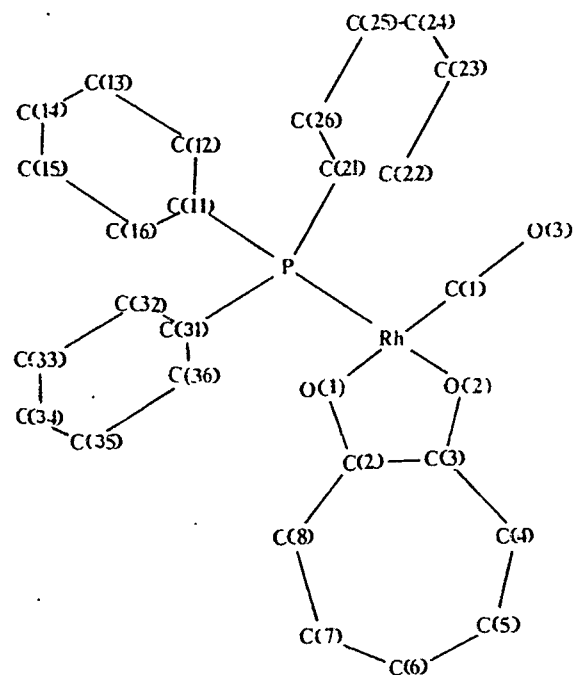


Die Rh-C afstande in hierdie verbindinge is onderskeidelik 1,780(12) Å en 1,792(12) Å. Alhoewel die verskil slegs 1,5 maal die standaardafwyking is, is dit 'n aanduiding dat die suurstofatoom die naaste aan die CF₃-groep die kleinste transeffek het. Dit kan toegeskryf word aan die feit dat die CF₃-groep elektrononttrekkend is terwyl O(1) in [Rh(TROP)(CO)(PPh₃)] aan 'n relatiewe elektronryke aromatiese sisteem gebind is.

---oooOooo---

FIGUUR 6,1

NOMMERINGSISTEEM VAN DIE ATOME IN DIE TROPOLONATOKARBONIEL-TRIFENIELFOSFIENRODIUM(I)-MOLEKUUL.



TABEL 6.1

FINALE BEREKENDE EN EKSPERIMENTELE STRUKTUURFAKTORE (x 10)

TABEL 6.1 (VERVOLG)

H _o -5,2		-5	205	209	2	540	553	-1	93	-106	-8	220	-211	H _o -3	-8	313	-326		
7	674	78	-9	107	99	3	520	100	0	48*	-44	-7	170	181	8	436	-15		
6	254	-256	H _o -2		4	246	-246	1	203	207	-6	89	-100	7	46*	-42	H _o -5,3		
5	209	206			5	150	142	2	153	-137	-5	93	91	7	327	320			
4	215	221	-9	127	121	7	59*	-41	3	70*	-55	-4	405	394	6	367	341	-245	
3	598	-585	-8	328	-323	9	319	324	H _o -11,2		-3	564	-540	5	545	-544	-249		
2	252	276	-7	184	167		H _o -5,2		1	252	-255	0	329	-292	2	544	-529	-6	
1	354	-377	-6	90	42		0	180	180	1	299	322	1	216	-112	-5			
0	180	118	-5	302	-290		H _o -5,2		0	180	180	1	299	322	1	216	-112	-5	
-1	426	413	-4	242	261	7	166	172	-1	72*	55	2	397	-411	0	1216	-1122	-4	
-2	395	-425	-3	647	-651	6	0*	-2	-2	166	-162	3	210	-203	-1	720	-647	-3	
-3	57*	-103	-2	910	-942	5	278	-277	-3	98	82	4	418	428	-2	1815	-1837	-2	
-4	420	417	-1	1043	951	4	354	369	-4	61*	-57	5	242	-237	-3	1258	-1234	-1	
-5	219	-203	0	245	-1029	3	202	-194	H _o -11,3		6	92	-74	-4	396	-344	0	236	252
-6	173	184	1	934	364	2	272	-250	H _o -11,3		7	34*	34	-5	102	146	1	362	326
-7	50*	39	2	466	454	1	675	684	H _o -11,3		8	186	-168	-6	239	-238	2	244	-275
-8	201	-207	3	332	-346	0	529	-504	-1	66*	-62	7	268	281	3	422	420		
			4	507	512	-1	436	412	0	142	121	H _o -4,3		-8	41*	23	4		
			5	157	-171	-2	307	309	1	132	-136	H _o -4,3		-9	197	-177	5		
			6	224	-219	-3	465	-465	2	61*	94	8	139	142		6	312	309	
-8	48*	-20	7	434	445	-4	263	276	H _o -10,3		7	128	-143	H _o -1,3		7	164	-154	
-7	51*	70	8	209	-195	-5	91	-92	H _o -10,3		6	144	148		6	130	-108		
-6	361	-374	9	22*	28	-6	274	-292	H _o -1,2		5	137	114	-9	-40*	38	H _o -6,3		
-5	532	533			-7	345	357	9	176	148	4	501	-503	-8	92	85			
-4	210	-197	H _o -1,2		-8	224	-238	3	201	-182	3	444	454	-7	244	-245	6		
-3	935	-929			-9	154	-137	2	115	104	2	106	90	-6	289	294	5		
-2	495	505	3	164	123		1	127	113	1	419	-416	-5	237	-207	4			
-1	42*	-38	7	309	-304	H _o -6,2		0	228	-204	0	638	665	-4	199	-215	3		
0	78	47	6	400	400		-1	187	169	-1	340	-331	-3	1191	1150	2			
1	460	456	5	197	-173	-8	265	273	-2	31*	-56	-2	219	-187	-2	1366	-1273	1	
2	763	-753	4	462	-457	-7	211	-232	-3	75*	-112	-3	319	344	-1	33*	99	0	
3	598	601	3	464	470	-6	90	-88	H _o -9,3		-4	577	-551	0	453	515	-1		
4	0*	16	2	27*	-64	-5	149	134	H _o -9,3		-5	162	152	1	342	-310	-2		
5	249	-241	1	226	-261	-4	214	-214	H _o -9,3		-6	55*	-71	2	452	427	-3		
6	147	15:	0	28*	-137	-3	395	426	-5	209	195	-7	290	-264	3	207	181	-4	
7	214	-227	-1	788	-992	-2	20*	-23	-4	174	-163	-8	186	196	4	599	-606	-5	
8	73*	-81	-2	1306	1231	-1	980	-508	-3	43*	-26	H _o -3,3		5	370	365	-6		
			-3	138	116	0	548	541	-2	87	49	H _o -3,3		6	102	-73	-7		
			-4	499	-491	1	173	-136	-1	290	-293	H _o -3,3		7	123	-90	-8		
			-5	123	132	2	69	-12	0	222	240	-9	50*	27	8	160	154	H _o -7,3	
8	135	121	-6	86	-87	3	244	244	1	124	-121	-8	171	-146					
7	134	100	-7	18*	-17	4	426	-455	2	170	-156	-7	246	237	H _o -2,3		-8	103	-75
6	92	-116	-6	280	296	5	209	211	3	155	161	-6	77	-22					
5	134	139	-7	290	-275	6	145	151	4	96*	-76	-5	554	-549	8	223	-236	-7	
4	336	-360			7	295	-253	5	25*	-20	-4	360	400	7	157	152	-6		
3	126	105	H _o -2,2				H _o -7,2		H _o -8,3		-3	158	-159	6	79	18	-5		
2	643	609					H _o -7,2		H _o -8,3		-2	66	53	5	122	-112	-4		
1	535	-630	-9	225	229	H _o -7,2		H _o -8,3		-1	315	367	4	390	428	-3	510	-493	
0	534	411	-8	25*	-32	6	172	-179	6	236	-237	0	800	-717	3	353	-385	-2	
-1	92	65	-7	53*	-46	5	59*	-61	5	136	145	1	52*	12	2	31*	-61	-1	
-2	333	-349	-6	186	190	4	335	350	4	55	-99	2	745	751	1	538	548	0	
-3	599	576	-5	285	-283	3	249	-242	3	108	-83	3	396	-395	0	411	-409	1	
-4	29*	-46	-4	317	337	2	0*	12	2	219	215	4	300	307	-1	474	539	2	
-5	546	-554	-3	244	246	1	36*	27	1	261	-269	5	42*	-4	-2	360	413	3	
-6	361	358	-2	736	-791	0	238	-234	0	177	-174	6	172	-175	-3	501	-523	4	
-7	127	-124	-1	1221	1161	-1	544	555	-1	474	474	7	301	307	-4	710	705	5	
-8	70*	-93	0	419	-516	-2	335	-343	-2	315	-317	8	154	-154	-5	78	-70	6	
-9	59*	35	1	284	-305	-3	194	-206	-3	39*	40	H _o -2,3		-6	264	-248	7		
			2	1019	1649	-4	494	527	-4	41*	14	H _o -2,3		-7	201	253	H _o -8,3		
			3	851	-824	-5	192	-226	-5	179	-199	H _o -2,3		-8	166	-154			
			4	12*	-15	-6	109	133	-6	204	204	8	0*	22	-9	48*	65	5	
-8	150	-109	5	329	333	-7	110	113	H _o -7,3		7	368	-365	6	408	408	H _o -3,3		
-8	58*	-10	6	325	-322	-8	261	-259	H _o -7,3		6	408	408	H _o -3,3		2	107	93	
-7	447	67	7	178	172		H _o -3,2		-6	106	-112	-4	25*	25	2	744	-733	-1	
-6	519	-513	8	44*	-20	H _o -8,2		-7	132	123	4	227	-221	-9	56*	-78	1		
-5	85	54				H _o -8,2		-6	166	-145	3	489	480	-8	161	208	0		
-4	806	812	H _o -3,2		-7	36*	-9	-5	25*	25	2	744	-733	-7	231	-218	-1		
-3	652	-650			-6	106	-112	-4	68*	48	1	357	398	-6	266	305	-2		
-2	149	167	8	96	-106	-5	226	233	-3	119	-108	0	341	945	-5	462	469	-3	
-1	277	194	7	40*	-28	-4	227	-218	-2	454	456	-1	687	-595	-4	585	-579	-4	
0	169	-285	6	205	202	-3	197	-219	-1	321	-315	-2	277	341	-3	403	399	-5	
1	773	735	5	167	-174	-2	228	207	0	39*	-55	-3	122	103	-2	139	127	-6	
2	300	-322	4	224	241	-1	111	-135	1	369	360	-4	42*	-55	-1	594	-559	-7	
4	198	225	3	256	263	0	188	202	2	230	-236	-5	560	579	0	773	783		
5	380	-389	1	530	557	2	134	-142	4	172	163	-7	103	-38	2	562	-556	-6	
6	279	273	0	99	53	3	284	290	5	239	-223	-8	240	236	3	377	398	-6	
7	130	98	-1	651	-688	4	3												

TABEL 6.1 (VERVOLG)

- 81 -

H+11,3	-2	282	296	-1	308	-393	1	495	-463	-1	170	-144	-8	151	-140	5	259	-250	
-3	84	-19	-4	232	-214	1	469	-415	-1	294	-329	-2	66*	70	6	94	39		
-2	155	-130	-5	347	-348	2	250	-272	-2	265	-269	-3	65*	-6	H+3,5	7	49*	73	
-1	286	274	-6	272	-262	3	553	566	-3	171	164	H+9,5	-8	250	257				
0	126	-128	-7	27*	-20	4	541	-539	-4	119	-122	-7	148	-153	H+2,5				
1	95	-77	-8	128	96	5	103	-81	-5	87	58	-4	76*	110	-6	124	-108		
2	126	-128	-7	27*	-20	6	245	265	-6	97	-82	-3	99	65	-5	507	508		
3	97	-77	-8	128	96	7	163	-169	-7	341	-350	-2	151	-159	-4	250	-229		
4	113	-98	-8	128	96	8	43*	67	-8	338	347	-1	285	282	-3	164	-133		
H+11,4		H+4,4							-9	71*	-51	0	160	-182	-2	490	500		
1	87	-37	-8	0*	-24				-9	71*	-51	1	108	-113	-1	435	-433		
0	0*	-17	-7	118	-108	H+1,4						1	275	175	0	460	475		
			-6	280	287							3	114	-122	1	437	-447		
			H+10,4	-5	524	-523	8	58*	-43			4	149	106	2	437	-447		
				-4	56*	47	7	156	151	-8	154	-143		3	225	233			
-3	233	-216	-3	530	89	6	327	-339	-7	122	118	H+8,5	4	110	-122	-2	209		
-2	165	147	-2	414	-430	5	403	382	-6	83	-50	-5	46*	78	-3	420	454		
-1	46*	-22	-1	196	224	4	248	231	-5	44*	44					-7	201	-198	
0	114	-96	0	87	31	3	550	-567	-4	297	295	5	153	-145	6	240	248		
1	121	122	1	519	-533	2	348	365	-3	211	-218	4	71*	-60	7	386	-380		
2	187	-204	2	740	746	1	133	-111	-2	107	-118	3	103	90	8	64*	53		
3	36*	27	3	274	-298	0	239	185	-1	476	476	2	43*	-21			-7	201	-198
4	156	163	4	129	-131	-1	737	688	0	334	-329	1	258	265	H+2,5	-8	149	162	
				5	308	295	-2	418	-462	1	187	181	0	68*	94	-9	65*	-69	
H+9,4				6	48*	-30	-3	223	229	2	223	215	-1	369	-359	8	129	140	
				7	74*	61	-4	486	501	3	344	-342	-2	300	305	7	59*	62	
S	191	163	8	94*	61	-5	555	-554	4	302	316	-3	52*	-5	6	390	-394		
4	151	-152				-6	85	75	5	54*	36	-4	66*	-28	5	222	207		
3	64*	71	H+3,4	-7	105	61	6	204	-210	-5	148	135	4	81	91	-8	247	-261	
2	82	46		-8	207	-201			-6	207	-192	3	263	-299	-7	131	121		
1	289	-295	8	193	-220	-9	201	216	H+7,4			2	380	410	-6	55*	45		
0	167	169	7	64*	61							H+7,5	1	497	-467	-5	332	-315	
-1	54*	6	6	258	246	H+2,4	5	97	-99				0	417	-371	-4	503	491	
-2	212	-195	5	295	-307		4	206	-203	-6	147	126	-1	688	711	-3	388	-365	
-3	206	188	4	265	247	-9	159	-141	3	419	424	-5	65*	-77	-2	380	-357		
-4	202	-194	3	99	77	-8	32*	39	2	316	-321	-4	44*	19	-3	87	-70		
-5	65*	15	2	519	-506	-7	51*	53	1	53*	8	-3	300	307	-4	76	95		
				1	851	839	-6	227	-222	0	182	177	-2	455	-45*	5	353	-343	
H+8,4				0	428	-446	-5	384	390	-1	373	-386	-1	203	204	-6	334	333	
				-1	67	-57	-4	173	176	-2	439	442	0	238	253	-7	65*	-19	
-6	105	-74	-2	272	275	-3	355	-329	-3	394	10	1	219	-208	-8	197	-217		
-5	139	-144	-3	126	-112	-2	499	479	-4	408	-401	2	86	56	-9	222	223		
-4	235	249	-4	124	127	-1	341	-348	-5	340	332	3	94	-74		6	239	-261	
-3	221	-217	-5	85	79	0	86	-30	-6	26*	-77	4	129	-111	H+1,5	7	306	301	
-2	211	180	-6	452	-456	1	532	576	-7	23*	-45	5	267	266					
-1	140	129	-7	346	343	2	473	-435	-8	139	133	6	149	-147	-7	250	-269		
0	379	-380	-8	65*	7	3	290	316	H+8,4			-8	56*	53	H+4,5				
1	277	266	-9	58	-72	4	165	184	H+6,5			-7	267	271	7	163	-187		
2	137	112				5	305	-290				-6	325	-326	6	445	449		
3	192	-197	H+2,4	6	184	167	-7	51*	19	7	0*	7	-5	268	266	5	67*	-36	
4	186	184		7	143	-152	-6	157	136	6	91	-25	-4	115	99	4	166	-150	
5	210	-209	-9	138	115	8	60*	,7	-5	269	-265	5	208	-190	-3	419	-417		
6	23*	19	-8	174	178		-4	64*	69	4	207	210	-2	571	562	2	137	-148	
H+7,4				-7	458	-456	H+3,4	-3	89	71	3	32*	-56	-1	493	-487	1	342	328
				-5	172	191	7	30*	8	-1	105	72	1	113	137	1	370	385	
7	151	-182	-4	237	-276	6	249	-259	0	234	-229	0	192	-200	2	342	-351		
6	105	115	-3	452	463	5	216	216	1	127	-136	-1	135	125	3	219	224		
5	172	184	-2	296	-317	4	264	-273	2	324	342	-2	231	246	4	86	103		
4	241	-243	-1	454*	-57	3	191	-171	3	345	-344	-3	475	-471	5	577	-587		
3	215	209	0	554	564	2	405	414	4	584	-28	-4	190	182	6	298	313		
2	124	-133	1	572	-612	1	940	-922	5	138	149	-5	134	124	7	65*	80		
1	91	-90	2	332	372	0	482	473	-6	191	-195	8	124	-83	-8	315	313		
C	496	508	3	143	156	-1	714	672	H+9,4	-7	75*	105			-9	151	-167		
-1	317	-324	4	265	-269	-2	576	-551											
-2	32*	39	5	409	417	-3	298	305	H+4,4	-4	65*	69	H+5,5					H+5,5	
-3	234	248	6	166	-166	-4	58*	-93	3	28*	59		8	124	121				
-4	252	-230	7	236	-235	-5	102	88	2	286	-273	-8	133	104	7	51*	-45		
-5	199	182	8	196	196	-6	473	479	1	306	319	-7	122	-134	6	217	-206		
-6	91	-56		-7	196	-202	0	109	-105	-6	104	66	5	516	533	-7	73*	-112	
-7	96	-111	H+1,4	-8	27*	-33	-1	265	-260	-5	85	-79	4	369	-366	-6	263	278	
H+6,4				-9	100	71	-2	352	344	-4	386	-385	-3	189	-179	-5	215	-222	
				8	34*	-50	-3	208	-209	-3	300	289	2	238	239	-4	27*	26	
				7	260	260	H+4,4	-4	14*	22	-2	44*	29	1	236	-280	-3	245	266
-7	0*	36	6	120	-119	-4	58*	-93	-5	234	231	-1	331	-334	0	581	534		
-6	92	106	5	241	-233	-9	78*	-106	-6	270	-269	0	338	353	-1	360	353		
-5	210	-213	4	347	369	-8	94	-88	1	551	-541	-2	340	-364	0	192	-182		
-4	433	435	3	548	-550	-7	271	267	H+10,4	2	222	229	-3	577	554	1	361	-373	
-3	61*	-85	2	236	217	-6	359	-371	3	447	455	-4	341	-336	2	369	354		
-2	231	-247	1	94*	70	-5	98*	-69	-5	0*	0	-4	354	-370	-5	37*	3		
-1	468	465	0	871	-928	-4	51*	61	-4	125	-111	5	89	80	-6	243	261		
0	273	-260	-1	392	336	-3	268	-253	-3	149	141	6	118	126	-7	173	-174		
1	62*	48	-2	268	276	-2	263	280	-2	135	-139	7	124	-114	-8	86	64		
2	136	113	-3	740	-737	-1	33*	-5	-1	108	93	-9	91	51					
3	392	-360	-4	348	343	0	766	-734	0	201	214	H+4,5					H+6,5		

TABEL 6.1 (VERVOLG)

-8	730	-39	-1	466	439	H,-1,6	-9	121	94	-4	98	80	-5	369	357	7	213	-208			
	0	112	-118				-2	250	-248	-8	177	183	-7	444	-9						
	238	-228	-6	66*	67	H,-6,6	-7	235	-219	-2	104	113	-8	266	-273	H,+2,7					
-6	291	266	-4	348	353	6	139	132	-6	151	150	-1	216	232	6	130	-115				
-5	43*	-56				3	388	384	-3	419	420				5	146	-165				
-4	344	-363				2	313	-265	-2	325	-336	H,-10,7	-6	218	228	1	175	177			
-3	376	386	-7	18*	21	0	455	471	0	509	505	1	57*	-29	-4	33*	22	-1			
-2	193	-186	-6	119	126	-1	720	-690	1	209	-205	0	172	-198	-3	88	64	-2			
-1	122	-103	-5	225	227	-2	159	165	2	20*	-10	-1	164	168	-2	367	-380	-3			
0	55*	65	-4	330	-337	-3	399	424	3	113	103	H,-9,7	-1	640	653	-4	240	245			
1	304	-309	-3	64*	-62	-4	476	-460	3	168	-152	H,-9,7	0	216	-241	-5	403	-384			
2	318	311	-2	293	287	-5	305	319	5	337	348		1	44*	-62	-6	52*	52			
3	36*	-4	-1	265	-267	-6	55*	-85	6	0*	26	-4	63*	-27	2	223	233	-7			
4	287	-312	0	148	156	-7	150	-143				-3	61*	-55	3	268	-265	-8			
5	165	174	1	63*	-61	-8	323	318	H,-5,6	-2	189	187	4	141	133	-9	60*	-2			
			2	304	-291	-9	222	-219		-1	193	-198	5	143	148						
			3	289	293				6	139	-156	0	52*	11	6	336	-326	H,3,7			
			4	146	-130		H,0,6		5	135	-116	1	161	158	7	177	173	-9			
3	243	-251	6	146	150	-9	217	209	3	192	-189	H,-2,7			-8	290	267	-7			
2	66*	-81				-8	215	-201	2	60*	-60		-6	139	135	-5	268	262			
1	204	193	H,-5,6	-7	9*	-42	1	210	211	H,-8,7	7	0*	12	-6	272	-285					
0	201	-197		-6	41*	29	0	440	-443		6	139	135	-5	268	262					
-1	78	-30	7	189	204	-5	418	-432	-1	512	509	4	30*	-38	5	362	-359	-4			
-2	63*	121	6	161	-190	-4	857	838	-2	198	155	3	217	-202	4	79	-71	-3			
-3	151	-163	5	223	218	-3	41*	-43	-3	379	-388	2	254	246	3	343	326	-2			
-4	215	196	4	139	-131	-2	333	-339	-4	235	234	1	108	-108	2	322	-321	-1			
-5	45*	-85	3	126	-131	-1	231	265	-5	45*	-26	0	49*	47	1	29*	25	0			
-6	61*	-96	2	704	700	0	74	20	-6	92	62	-1	171	156	0	113	60	1			
-7	173	191	1	350	-377	1	298	311	-7	228	223	-2	307	-308	-1	424	-425	2			
			0	361	-363	2	423	439	-8	252	-244	-3	71*	64	-2	515	523	3			
			-2	356	-346	4	377	370	H,6,6	-5	135	-125	-4	157	-139	5	40*	-27			
-6	0*	-5	-3	268	269	5	43*	34				-5	95	112	-3	122	-145	4			
-5	258	244	-4	48*	-31	6	52*	-41	-6	112	143	H,-7,7	-6	182	-163	-5	153	143			
-4	216	-228	-5	413	-420	7	161	135	-7	126	-137		-7	202	203	H,4,7					
-3	167	151	-6	213	194				-6	70*	59	-6	171	-172	-8	140	102				
-2	50*	15	-7	34*	-14	H,1,6	-5	132	115	-5	167	161	H,-1,7	6	230	-244		5	256	250	
-1	139	-140	-8	0*	10				-6	340	-341	-4	64*	86		4	0*	-3			
0	312	287				7	135	-162	-3	130	177	H,-1,7									
1	35*	-45	H,-4,6	6	131	128	-2	290	280	-2	331	345	-9	177	177	3	215	-218			
2	168	-172		5	127	-106	-1	359	-371	-1	111	89	-8	115	77	2	184	200			
3	238	233	-8	68*	50	4	135	103	0	157	161	0	229	-218	-7	238	-249	1	126	-147	
			-7	150	159	3	341	352	1	104	-97	1	216	223	-6	149	157	0	43*	-49	
			H,10,5	-6	313	-319	2	738	-716	2	155	-165	2	264	-261	-5	237	-226	-1	415	436
			5	364	371	1	392	399	3	293	289	3	62*	36	-4	127	115	-2	653	-642	
2	139	122	-4	114	103	0	313	331	4	130	-132	4	232	245	-3	560	569	-3	119	115	
1	25*	-53	-3	320	-330	-1	100	-139	5	75*	-107	5	227	-232	-2	377	-399	-4	219	211	
0	62*	-70	-2	451	421	-2	391	942	H,7,6	H,-6,7	0	309	308	-2	293	250					
-1	183	176	-1	263	-290	-3	266	-285	H,7,6	H,-6,7	1	220	240	-1	220	-240	-7	41*	-27		
-2	41*	-50	0	33*	-69	-4	587	-586				1	220	-240	-7	41*	-27				
-3	314	-38	1	617	597	-5	683	701	5	51*	50	6	50*	-61	2	296	314	-8	129	-136	
-4	75*	98	2	357	-367	-6	282	-274	4	41*	-36	5	71*	85	3	168	-191	-9	243	235	
-5	122	-146	3	147	-143	-7	34*	-18	3	308	-315	4	190	-180	4	231	-220	H,5,7			
			4	199	181	-8	154	148	2	301	311	3	71*	78	5	272	270				
			H,-10,6	5	59*	11	-9	165	-156	1	61*	-51	2	152	180	6	0*	-39			
			6	171	162				0	190	-194	1	253	-235	7	66*	-21	-8	74*	-67	
-2	117	-113	7	50*	-57	H,2,6	-1	64*	79	0	42*	37			-7	101	115				
-1	101	79	H,-3,8	-9	140	110	-3	140	149	-2	135	-114	H,0,7	-6	60*	-13					
0	45*	76		-8	73*	-76	-4	161	146	-3	310	321	7	98	93	-5	193	205			
1	292	-261		7	183	-194	-7	106	-107	-5	328	-305	-4	313	-321	6	46*	47	-3	376	-374
2	74*	56	6	139	-160	-6	336	342	-6	121	128	-5	61*	-56	5	128	-103	-2	669	663	
			H,-9,6	5	272	274	-5	356	-359	-7	46*	32	-6	240	229	4	418	421	-1	154	-150
			4	309	-311	-4	50*	-16	-8	135	-102	-7	156	-147	3	127	-105	0	58*	-69	
			H,-10,6	3	101	105	-3	258	285	H,8,6	H,-5,7	2	326	-320	1	112	127				
			3	56*	-45	2	202	204	-2	73	-75		1	697	699	2	269	-261			
			2	71*	17	1	512	-530	-1	141	145	H,-5,7	0	103	-95	3	95	95	107		
1	182	167	0	710	694	0	249	-259	-7	57*	26	-7	256	250	-1	90	-80	4	237	250	
0	172	-174	-1	50*	-38	1	484	-486	-6	131	-134	-6	60*	-66	-2	99	94	5	259	-251	
-1	57*	43	-2	270	-294	2	416	413	-5	260	263	-5	161	-176	-3	359	-354				
-2	110	121	-3	298	310	3	30*	-69	-4	43*	5	-4	275	283	-4	119	116	H,6,7			
-3	132	-127	-4	173	-162	4	112	-118	-3	129	-140	-3	189	-188	-5	134	132				
-4	168	166	-5	96	105	5	123	106	-2	120	111	-2	24*	10	-6	268	-268	5	71*	105	
			-6	325	330	6	315	-303	-1	34*	-58	-1	169	180	-7	146	95	4	279	-265	
			H,-8,6	-7	366	-354	7	90	78	0	91	72	0	532	-534	-8	58*	-85	3	89	83
			-8	92	111				1	275	258	1	275	280	-9	51*	18	2	207	198	
			H,3,6	2	376	-378	2	120	140	3	372	-377	H,1,7	1	242	-255					
			-5	64*	59	H,-2,6	3	130	111	3	372	130		-1	54*	-67					
			3	290	283	7	57*	93	4	101	87	H,9,6	5	52*	-4	-9	56*	-18	-2	263	-246
			-2	99	-93	-8	0*	-27	6	301	315		6	43*	-2	-8	124	115	-3	417	

TABEL 6.1 (VERVOLG)

M,7,7	-3	170	-191	9	49*	21	9	101	82	2	87	74	H,2,9	-9	97	58								
-1	31*	33	-5	239	232	2	513	514	H,7,3	0	248	-240	5	63*	35	-5	157	-159						
0	285	-294	-6	198	-199	1	500	-512		-1	408	431	9	135	-149			H,9,9						
1	349	350	-7	107	101	0	55*	-69	3	118	137	-2	235	-247	3	218	230							
2	84	-95	-1	351	363	2	292	-279	-3	233	-245	2	110	-83	-4	117	-103							
3	142	-194	H,-4,6	-2	330	-309	1	146	143	-4	204	201	1	193	202	-3	0*	25						
4	145	129		-3	81	41	0	277	287	-5	206	-226	0	353	359	-2	144	151						
			-8	48*	-6	-9	54*	-75	-1	213	-221	-6	88	72	-1	473	-500							
			-7	278	-271	-5	394	-399	-2	117	104	-7	73*	70	-2	85	114							
			-6	213	202	-6	508	509	-3	51*	27			-3	156	178								
3	203	193	-5	43*	58	-7	121	-115	-4	42*	-1	H,-3,9	-4	107	-106		H,-8,10							
2	102	-125	-4	152	-167	-8	136	-132	-5	240	241		-5	187	168									
1	220	-205	-3	193	184	-9	74*	82	-6	144	-149	-8	81*	109	-6	134	-121							
0	429	445	-2	451	-458				-7	41*	-25	-7	70*	34	-7	179	-152							
-1	63*	-78	-1	224	235	H,2,8					-6	112	-139	-8	227	222	-1	134	-153					
-2	51*	-60	0	306	309	H,8,8					-5	90	105				0	156	160					
-3	63*	78	1	257	-256	-9	151	-156		-4	284	-289	H,3,9	1	128	-101								
-4	182	-176	2	34*	-28	-8	55*	38	-6	193	196	-3	133	-131			H,-7,10							
-5	210	210	3	46*	-50	-7	282	290	-5	100	-86	-2	447	452	-8	173	-168							
-6	61*	65	4	51*	-78	-6	499	-525	-4	55*	16	-1	405	-398	-7	49*	-17							
			5	277	275	-5	106	113	-3	31*	35	0	41*	39	-6	287	293							
			6	168	-167	-4	145	145	-2	212	-190	1	204	203	-5	89	-65							
			-3	140	-157	-1	206	199	2	238	-209	-4	167	164	1	49*	-10							
			-2	429	426	0	95	86	3	197	193	-3	62*	70	0	164	-165							
-5	189	-185	H,-3,8	-2	429				4	41*	30	-2	175	-175	-1	204	174							
-4	140	99		-1	213	-228	1	266	-259	4	41*	30	-5	311	303	-2	101	-114						
-3	117	-51	6	34*	13	0	261	-270	2	154	158	5	173	-156										
-2	65*	-55	5	348	-334	1	564	576			6	243	230	0	43*	46	-3	58*	24					
-1	229	208	4	364	350	2	189	-194	H,9,8				1	44*	-47	-4	142	124						
0	194	-197	3	30*	56	3	51*	57	H,2,9				2	46*	16	3	308	-316	H,-6,10					
1	38*	29	2	30*	-22	4	57*	52	1	139	163													
2	99	99	0	332	-346	6	213	208	-1	64*	-58	5	200	201	5	71*	89	-5	202	206				
			-2	232	255	H,3,8	-3	68*	-98	3	61*	-36	H,4,9	-3	42*	-24								
0	71*	15	-3	303	-316	H,8,8	-4	71*	-55	2	463	480			-2	123	141							
-1	228	-218	-4	157	160	6	115	-80	-5	52*	-17	1	164	-183	5	271	-263	-1	136	-129				
-2	191	156	-5	203	-214	5	274	261			0	58*	80	4	0*	20	0	130	127					
-3	54*	64	-6	102	-95	4	232	-243	H,-9,9	-1	277	266	3	223	220	1	152	160						
-4	154	-137	-7	229	228	3	45*	-4		-2	448	-432	2	341	-330	2	233	-208						
			-3	214	-201	2	104	84	-1	53*	47	-3	486	526	1	57*	64	3	95	105				
			H,-9,8		1	201	-198	0	0*	21	-4	125	131	0	57*	-14			H,-5,10					
			H,-2,8	0	271	274				-5	299	-279	-1	144	-132									
2	67*	27	-1	23	-85	H,-8,9	-6	102	109	-2	322	338												
1	68*	-89	-8	192	194	-2	299	-321		-7	65*	-87	-3	260	-259	4	105	-114						
0	195	170	-7	125	-127	-3	424	409	2	240	-243	-8	0*	9	-4	50*	-76	3	27*	-8				
-1	203	-199	-6	26*	29	-4	156	-169	1	158	148	H,-1,9	-5	266	265	2	91	100						
-2	48*	-83	-5	60*	56	-5	44*	19	0	40*	-52			-6	71*	-88	1	224	-222					
-3	196	182	-4	250	-246	-6	293	321	-1	38*	-45	H,0,9	-7	35*	53	0	155	150						
			-3	504	509	-7	271	-270	-2	72*	37	-8	7*	3	-8	47*	-36	-1	118	120				
			H,-8,8	-2	22*	67	-8	146	152	-3	165	-167	-7	129	105									
1	249	-276	-9	150	145	-4	35*	-15	6	292	-300	H,5,9	-5	254	255	-3	173	127						
													-3	456	-454	-7	31*	-51	-5	131	-81			
			-3	188	167	0	428	425	H,4,8	H,-7,9	-8	228	227	-8	48*	5	-5	131	-81					
			-2	255	-283	1	184	-178	H,4,8	H,-7,9	-3	456	-454	-7	31*	-51	-6	130	141					
			-3	53*	-51	2	35*	27																
-1	115	120	3	307	299	-8	252	-248	-5	114	-69	-2	289	288	-6	105	105			H,-4,10				
0	110	-96	4	363	-355	-7	186	185	-4	265	-262	-1	0*	-14	-5	269	-318							
1	73*	70	5	0*	4	-6	94	100	-3	196	192	0	190	-186	-4	129	-126							
2	0*	-16	6	100	127	-5	55*	-15	-2	26*	19	1	428	434	-3	294	312	-7	185	175				
3	220	-228		-4	271	278	-1	65*	-72	2	298	-279	-2	278	-293	-6	76*	-114						
			H,-1,8	-3	362	-363	0	209	195	3	116	-93	-1	0*	46	-5	55*	-16						
				-2	107	118	1	280	-263	4	159	142	0	48*	-9	-4	118	118						
				6	154	-142	-1	274	260	2	176	183	5	110	-103	1	238	-215	-3	382	-402			
			2	107	5	154	167	0	173	-170	3	72*	111	6	72*	46	2	204	211	-2	210	197		
			3	300	288	4	163	185	1	36*	25	9	138	-112			3	59*	14	-1	28*	31		
			2	169	-201	3	607	-594	2	218	-231	H,0,9	4	168	-161	0	276	-253	1	101	110			
			1	0*	51	2	303	300	3	227	-242	H,6,9	-7	172	-163									
			0	0*	7	1	252	275	4	423	429		6	47*	-49	H,6,9	2	49*	4	3	88	-87		
			-1	93	-114	0	174	-179	5	188	-189		3	69*	-114	H,1,9	-6	91	92	-5	52*	40		
			-2	280	262	-1	368	356		-7	240	-243	-5	121	-115	-6	134	127	-6	66*	45			
			-3	42*	-31	-2	377	-369	H,5,8	2	68*	-61	3	0*	17	2	32*	-33						
			-4	349	-339	-3	97	-92		1	273	283	2	48*	28	1	303	287	H,-3,10					
			-5	258	249	-4	494	491	5	56*	-3	0	220	-221	1	512	-527	-2	55*	80	4	183	-199	
			-6	52*	-43	-5	192	-193	4	259	-246	-1	54*	69	0	211	251	-1	35*	-36	5	177	176	
			H,-6,8	-6	51*	-22	3	309	302	-2	116	121	-1	183	-197	-2	217	-214	3	179	191			
			-7	18*	50	2	48*	7	-3	53*	-58	-2	119	-109	-3	217	-214	-2	20	21	3	179	191	
			-8	108	-117	1	79	-76	-8	302	264	-3	99	106	-4	249	279	2	34*	-28				
				0	192	126	-5	61*	-86	-4	459	-470	-5	23*	-1	1	107	-98						
			-5	304	-303	H,0,8	-1	255	-270	-6	73*	-99	-5	104	118	-6	233	-210	0	175	149			
			-4	54*	60	-6	227	-243	-6	40*	-13	-6	0*	-23	H,1,9	-6	91	92	-5	52*	40			
			-3	229	220	-9	73*	-76	-3	173</														

TABEL 6.1 (VERVOLG)

H,-2,10	1	215	-193	H,-3,11	1	70*	78	-4	303	-298	H,5,12	H,3,13		
228	-227	3	249	264	-7	52*	-92	3	166	189	-2	153	-171	
206	196	4	270	-274	-6	184	174	4	30*	-35	-1	204	-229	
51*	18				-5	150	-149		0	166	166	-3	25*	-16
					-4	71*	86				1	62*	-53	
					-3	135	139				2	187	-193	
					-2	259	-232	3	106	-78	3	215	210	
57*	-85	2	280	264	-1	40*	24	2	321	320				0
67*	-22	1	0*	-49	0	61*	35	1	217	-225				54*
169	161	0	245	-242	1	0*	0	0	28*	6				-50
231	-223	-1	91	80	2	216	193	-1	69*	61	3	72*	-72	
57*	-28	-2	134	-145	3	235	-233	-2	182	-177	2	169	158	
188	167	-3	59*	-56	4	36*	-42	-3	196	196	1	110	-108	
209	-209	-4	306	318				-4	18*	-13	0	124	-121	
120	121	-5	351	-357				-5	227	-210	-1	278	272	
54*	-47	-6	39*	-55				-6	137	132	-2	134	-150	
186	-188	-7	157	161	4	195	167	-7	71*	-69	-3	34*	30	
329	321				3	59*	72				-4	180	183	
44*	-28										-5	302	-278	
125	-97										-6	126	126	
71*	103	-7	56*	-31	0	110	-92	-7	218	206	-7	124	87	
		-6	173	-195	-1	59*	-55	-6	199	-171				
H,0,13		-5	286	277	-2	181	190	-5	53*	40		H,0,12		
		-4	59*	-71	-3	260	-271	-4	158	151		1	67*	-80
105	-109	-3	53*	-74	-3	34*	41	-3	162	-156	-7	60*	73	
70*	16	-2	129	140	-5	87	37	-2	85	61	-6	252	-239	
291	299	-1	189	-162	-6	170	-171	-1	19*	-15	-5	147	133	
165	-166	0	131	134	-7	60*	91	0	74*	-78	-4	29*	56	
28*	-48	1	163	165				1	201	195	-3	71*	-67	
130	115	2	210	-212				2	159	-176	-2	288	271	
203	-213	3	173	157				-1	171	-108				
309	292				-7	123	-115		H,6,11		0	66*	50	
133	-158				-6	222	221				1	183	187	
315	-315				-5	0*	-30	2	71*	57	2	95	-49	
222	211	2	154	147	-4	267	-195	1	157	-174	3	33*	38	
164	-159	1	127	-144	-3	199	229	0	139	140				
64*	-91	0	58*	66	-2	183	-175	-1	53*	-32		H,1,12		
7*	68	-1	218	215	-1	30*	50	-2	94	-59		0	61*	-58
		-2	251	-237	0	239	239	-3	87	120	3	49*	-8	
H,1,10		-3	84	85	1	362	-331	-4	133	-132	2	12*	24	
		-4	51*	31	2	99	62	-5	123	87	1	122	-111	
168	-173	-5	151	-135	3	153	155	-6	111	73	0	95	102	
145	149	-6	207	199	4	172	-147				-1	88	76	
86	91								H,7,11		-2	275	-274	
304	-315									-3	169	175		
356	348									0	14*	84		
58*	-20	-5	61*	28	4	118	129	-4	66*	-72	-4	0*	17	
336	-339	-4	40*	-7	3	205	-197	-3	182	-166	-5	26*	-23	
225	217	-3	175	-169	2	29*	-33	-2	27*	50	-6	149	136	
53*	-27	-2	267	254	1	351	353	-1	114	97	-7	79*	-109	
31*	-37	-1	58*	-67	0	352	-367	0	183	-189		H,2,12		
34*	-2	0	206	-190	-1	124	134				-6	205	176	
187	-148				-2	27*	61		H,6,12		-7	138	123	
171	142				-3	120	-112				-6	105	-82	
31*	-5				-4	301	313	-3	104	71	-5	56*	6	
H,2,1C		-3	99	-89	-5	134	-122	-2	197	-203	-4	117	129	
		-2	11*	-4	-6	54*	-32	-1	154	145	-3	326	-328	
		-1	66*	49	-7	202	209	0	64*	33	-2	125	104	
130	114	0	184	-179				1	189	-167	-1	175	157	
214	-207	1	192	196					H,5,12		2	67*	-68	
58*	-79									2	66*	-66		
37*	-64									2	68*	46		
354	357	2	49*	-80	-6	0*	1	1	179	153				
311	-319	1	106	-81	-5	38*	65	0	109	-98		H,3,12		
43*	-8	0	263	247	-4	206	-191	-1	68*	-56				
371	367	-1	114	-127	-3	195	207	-2	202	205	3	178	155	
321	-303	-2	50*	45	-2	36*	4	-3	146	-141	2	127	116	
239	231	-3	35*	19	-1	291	-296	-4	70*	-43	1	162	-149	
15*	21	-4	122	-124	0	376	375	-5	45*	11	0	94	81	
161	-147	-5	155	139	1	174	-173		-1	65*	-112	-2	51*	
257	248				2	58*	-40		H,4,12		-2	90	21	
					3	117	193			-3	150	137		
H,3,10					4	134	-127	-5	0*	1	-4	208	-188	
					-4	90	-97	-5	43*	-2	-6	53*	-76	
217	209	-4	96	96				-4	270	277	-6	115	-51	
93	-78	-3	55*	-39				-2	71*	-76	-7	191	-113	
113	-100	-2	62*	-101	4	76*	110	-1	89	-96				
220	211	-1	217	213	3	167	-143	0	143	120		H,8,12		
171	-160	0	182	-147	2	110	112	1	98	-107		-6	103	79
192	180	1	93	-14	1	64*	-62	2	110	110	-5	51*	24	
166	175	2	153	144	0	169	-166	3	95	63	-5	155	-168	
312	-317	3	144	-125	-1	381	378		-4	191	181	-2	74*	-96
256	261				-2	319	-317		H,3,12		-3	102	-42	
136	137				-3	0*	-57			-2	113	-84		
64*	-54				-4	239	252	3	178	-174	-1	136	116	
132	119	4	126	-112	-5	177	-166	2	39*	-15	0	147	-141	
223	-208	3	242	223	-6	114	88	1	36*	57	1	163	150	
		2	203	-174	-7	39*	50	0	121	-87	2	96	99	
H,4,10		1	51*	31				-1	149	136		H,2,13		
		0	30*	-18				-2	51*	-46		H,5,12		
								-3	173	-185				
104	90	-1	218	-213				-4	275	270	1	25*	14	
118	-111	-2	258	263	-7	36*	-26	-5	66*	-56	0	66*	106	
45*	67	-3	44*	1	-6	192	-171	-6	61*	-62	-1	135	-110	
87	84	-4	160	-104	-5	193	192	-6	61*	-62	-2	214	207	
372	-367	-5	163	181	-4	120	-115		-2	69*	99	-3	41*	-66
245	242	-6	111	-113	-3	92	-108		H,2,12		-3	29*	31	
59*	-23				-2	214	221		-4	96	-85	-5	143	124
124	-138				-1	120	-97	-6	22*	-11	-5	243	231	
310	311				0	61*	85	-5	205	208	-6	77*	-102	

TABEL 6.2

FRAKSIONELE ATOOMKOÖRDINATE ($\times 10^4$). DIE STANDAARDAFWYKING WORD TUSSEN HAKIES AANGEGEE

ATOOM	X	Y	Z
Rh	3 667,9 (1)	4 225,8 (1)	2 220,8 (1)
P	2 181 (3)	2 592 (3)	1 422 (2)
O(1)	4 890 (8)	3 171 (6)	3 402 (5)
O(2)	5 136 (8)	5 619 (6)	3 209 (6)
O(3)	2 244 (12)	5 946 (8)	695 (8)
C(1)	2 751 (13)	5 261 (11)	1 323 (9)
C(2)	5 956 (13)	3 802 (11)	4 087 (8)
C(3)	6 083 (12)	5 188 (11)	3 988 (8)
C(4)	7 099 (14)	6 096 (13)	4 644 (9)
C(5)	8 253 (16)	5 846 (16)	5 527 (11)
C(6)	8 713 (18)	4 750 (19)	5 977 (11)
C(7)	8 096 (19)	3 559 (19)	5 651 (11)
C(8)	6 872 (16)	3 115 (14)	4 836 (9)
C(11)	176 (11)	2 355 (9)	1 596 (7)
C(12)	- 565 (12)	3 422 (11)	1 736 (8)
C(13)	-2 108 (13)	3 237 (13)	1 887 (10)
C(14)	-2 866 (14)	2 029 (14)	1 881 (10)
C(15)	-2 129 (15)	966 (13)	1 748 (12)
C(16)	598 (13)	1 124 (11)	1 586 (10)
C(21)	1 957 (11)	2 678 (8)	55 (7)
C(22)	3 275 (13)	3 163 (10)	- 313 (9)
C(23)	3 149 (4)	3 243 (11)	-1 351 (9)
C(24)	1 738 (16)	2 870 (11)	-2 034 (9)
C(25)	428 (14)	2 393 (12)	-1 660 (9)
C(26)	547 (12)	2 295 (10)	- 610 (8)
C(31)	2 912 (10)	1 052 (9)	1 749 (8)
C(32)	3 212 (12)	246 (9)	1 020 (9)
C(33)	3 791 (14)	- 922 (11)	1 314 (11)
C(34)	4 063 (14)	-1 285 (12)	2 322 (13)
C(35)	3 771 (15)	- 492 (12)	3 059 (11)
C(36)	3 188 (13)	692 (10)	2 770 (9)

TABEL 6.3

TERMIESE BEWEGINSPARAMETERS ($\times 10^3$). DIE STANDAARDAFWYKING WORD TUSSEN HAKIES AANGEGEE

ATOOM	U ₁₁	U ₂₂	U ₃₃	U ₁₂	U ₁₃	U ₂₃
Rh	34(1)	38(1)	48(1)	- 1(0)	6(0)	- 1(0)
P	26(1)	33(1)	47(2)	0(1)	8(1)	1(1)
O(1)	53(4)	44(4)	47(4)	- 1(3)	0(4)	3(3)
O(2)	54(5)	40(4)	55(5)	- 6(3)	5(4)	0(3)
O(3)	116(8)	54(6)	88(7)	20(5)	-10(6)	14(5)
C(1)	47(7)	45(7)	67(8)	- 6(5)	- 4(6)	- 5(6)
C(2)	47(6)	61(7)	46(7)	5(5)	12(5)	2(6)
C(3)	43(6)	61(7)	48(7)	- 2(5)	17(5)	- 4(6)
C(4)	52(7)	94(10)	57(8)	-21(7)	8(6)	-23(7)
C(5)	59(8)	116(13)	62(9)	-12(8)	9(7)	-24(9)
C(6)	73(10)	120(14)	65(10)	6(10)	- 9(8)	-17(10)
C(7)	83(11)	142(16)	60(9)	35(11)	-12(8)	13(10)
C(8)	79(9)	91(10)	49(8)	8(8)	-12(7)	7(7)
C(11)	33(5)	46(6)	45(6)	- 1(4)	7(4)	- 5(5)
C(12)	38(6)	64(7)	59(7)	15(5)	20(5)	- 9(6)
C(13)	36(6)	85(9)	82(9)	53(6)	18(6)	-16(7)
C(14)	42(7)	102(11)	77(9)	- 4(7)	23(6)	-16(8)
C(15)	50(8)	76(9)	123(12)	- 2(7)	39(8)	- 8(8)
C(16)	43(7)	60(7)	96(10)	-10(6)	28(6)	0(7)
C(21)	47(6)	27(5)	47(6)	13(4)	14(5)	3(4)
C(22)	55(7)	43(6)	64(8)	8(5)	25(6)	7(5)
C(23)	61(8)	60(7)	59(8)	9(6)	18(6)	3(6)
C(24)	80(9)	57(7)	55(7)	18(6)	15(7)	10(6)
C(25)	61(8)	70(8)	59(8)	- 4(6)	4(6)	5(6)
C(26)	44(6)	47(6)	52(7)	2(5)	- 3(5)	1(5)
C(31)	24(5)	30(5)	62(7)	- 3(4)	0(4)	0(5)
C(32)	46(6)	35(6)	81(8)	8(5)	16(6)	-13(6)
C(33)	53(7)	44(7)	106(11)	13(6)	12(7)	5(7)
C(34)	55(8)	46(7)	116(12)	32(6)	33(8)	15(8)
C(35)	64(8)	52(8)	91(10)	1(6)	10(7)	12(7)
C(36)	50(7)	45(7)	77(9)	- 2(5)	13(6)	12(6)

TABEL 6.4

INTERATOOMAFSTANDE (\AA) MET STANDAARDAFWYKING TUSSEN HAKIES

Rh	- O(1)	2,034 (7)	C(11) - C(12)	1,398 (16)
Rh	- O(2)	2,081 (7)	C(12) - C(13)	1,418 (16)
Rh	- C(1)	1,797 (12)	C(13) - C(14)	1,377 (19)
Rh	- P	2,232 (2)	C(14) - C(15)	1,390 (21)
P	- C(11)	1,832 (10)	C(15) - C(16)	1,412 (19)
P	- C(21)	1,823 (10)	C(16) - C(11)	1,401 (15)
P	- C(31)	1,823 (10)	C(21) - C(22)	1,415 (16)
O(1)	- C(2)	1,299 (12)	C(22) - C(23)	1,390 (17)
O(2)	- C(3)	1,299 (12)	C(23) - C(24)	1,399 (16)
O(3)	- C(1)	1,151 (15)	C(24) - C(25)	1,410 (19)
C(2)	- C(3)	1,461 (16)	C(25) - C(26)	1,408 (17)
C(3)	- C(4)	1,417 (16)	C(26) - C(21)	1,389 (13)
C(4)	- C(5)	1,427 (17)	C(31) - C(32)	1,403 (16)
C(5)	- C(6)	1,356 (25)	C(32) - C(33)	1,401 (16)
C(6)	- C(7)	1,356 (26)	C(33) - C(34)	1,389 (22)
C(7)	- C(8)	1,409 (18)	C(34) - C(35)	1,401 (22)
C(8)	- C(2)	1,392 (17)	C(35) - C(36)	1,417 (17)
.	-	-	C(36) - C(31)	1,404 (16)

TABEL 6.5

BINDINGSHOEKE (GRADE) MET STANDAARDAFWYKING TUSSEN HAKIES

O(1)	- Rh	- O(2)	77,8 (3)	C(11)	-	C(12)	-	C(13)	118,7 (10)
O(1)	- Rh	- P	96,6 (2)	C(12)	-	C(13)	-	C(14)	120,4 (12)
O(2)	- Rh	- C(1)	97,4 (4)	C(13)	-	C(14)	-	C(15)	120,9 (12)
C(1)	- Rh	- P	87,9 (4)	C(14)	-	C(15)	-	C(16)	119,8 (12)
Rh	- O(1)	- C(2)	116,1 (7)	C(15)	-	C(16)	-	C(11)	119,3 (12)
O(1)	- C(2)	- C(3)	115,9 (9)	C(16)	-	C(11)	-	C(12)	120,8 (10)
C(2)	- C(3)	- O(2)	115,2 (9)	C(21)	-	C(22)	-	C(23)	119,2 (9)
C(3)	- O(2)	- R	114,9 (5)	C(22)	-	C(23)	-	C(24)	121,1 (12)
C(3)	- C(2)	- C(8)	126,0 (10)	C(23)	-	C(24)	-	C(25)	119,2 (11)
C(2)	- C(8)	- C(7)	129,4 (14)	C(24)	-	C(25)	-	C(26)	120,1 (10)
C(8)	- C(7)	- C(6)	132,1 (16)	C(25)	-	C(26)	-	C(21)	119,7 (10)
C(7)	- C(6)	- C(5)	125,3 (13)	C(26)	-	C(21)	-	C(22)	120,5 (10)
C(6)	- C(5)	- C(4)	132,5 (14)	C(31)	-	C(32)	-	C(33)	119,9 (11)
C(5)	- C(4)	- C(3)	127,1 (13)	C(32)	-	C(33)	-	C(34)	120,1 (13)
C(4)	- C(3)	- C(2)	127,5 (10)	C(33)	-	C(34)	-	C(35)	120,7 (12)
Rh	- C(1)	- O(3)	176,2 (11)	C(34)	-	C(35)	-	C(36)	119,5 (13)
Rh	- P	- C(21)	115,0 (3)	C(35)	-	C(36)	-	C(31)	119,5 (12)
Rh	- P	- C(31)	113,9 (3)	C(36)	-	C(31)	-	C(32)	120,3 (10)
C(21)	- P	- C(31)	103,7 (5)						-
C(11)	- P	- C(21)	104,3 (5)						-

TABEL 6.6

BINDINGSLENGTES IN DIE TROPOLOONLIGAND IN VERSKILLENDÉ KOM-
PLEKSE

BINDING	Na(TROP) ^{40; 41)}	Th(TROP) ₄ DMF ⁴³⁾	[Rh(TROP)(CO)(PPh ₃)]
C - O ^a	1,278 Å	1,277 Å	1,299 Å
C(2) - C(3)	1,487 Å	1,471 Å	1,461 Å
C(3) - C(4) ^b	1,426 Å	1,407 Å	1,417 Å
C(4) - C(5) ^c	1,390 Å	1,385 Å	1,427 Å
C(5) - C(6) ^d	1,388 Å	1,383 Å	1,356 Å

a gemiddeld van C(3) - O(2) en C(2) - O(1)

b gemiddeld van C(3) - C(4) en C(2) - C(8)

c gemiddeld van C(4) - C(5) en C(8) - C(7)

d gemiddeld van C(5) - C(6) en C(6) - C(7)

TABEL 6.7

BESTE VLAKKE EN AFWYKINGS VANAF VLAKKE (Å) DEUR DIE ONDERSKEIE ATOME IN DIE MOLEKUUL. DIE VERGELYKING VIR DIE BESTE VLAK WORD GEGEE DEUR ax + by + cz = d

ATOME IN VLAK	a	b	c	d	AFWYKING (Å)
1.	-0,8256	0,0270	0,5636	0,1695	
C(2)					0,0110
C(3)					-0,0185
C(4)					0,0021
C(5)					0,0129
C(6)					-0,0020
C(7)					-0,0163
C(8)					-0,0109
2.	-0,8503	0,0797	0,5203	0,1428	
Rh					0,0154
P					0,0228
O(2)					0,0272
O(1)					-0,0322
C(1)					-0,0332
3.	-0,8378	0,0556	0,5432	0,1545	
Rh					-0,0088
O(1)					0,0148
O(2)					0,0060
C(2)					-0,0135
C(3)					0,0015
4.	0,1474	-0,0561	0,9875	1,8372	
C(11)					0,0049
C(12)					-0,0019
C(13)					0,0026
C(14)					0,0062

TABEL 6.7 VERVOLG

ATOME IN VLAK	a	b	c	d	AFWYKING (Å)
C(15)					0,0090
C(16)					0,0084
5.	-0,3775	0,926	0,0084	2,0692	
C(21)					-0,0003
C(22)					0,0040
C(23)					-0,0046
C(24)					0,0015
C(25)					0,0022
C(26)					-0,0027
6.	0,8848	0,4431	0,1443	2,5200	
C(31)					-0,0001
C(32)					-0,0009
C(33)					0,0014
C(34)					-0,0010
C(35)					0,0000
C(36)					0,0005

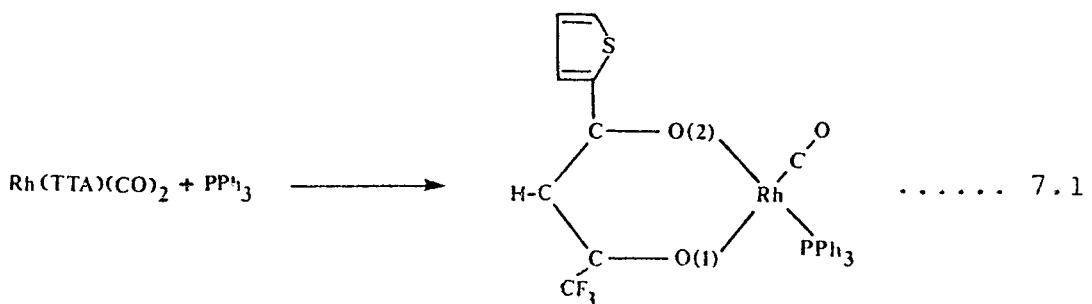
HOOFSTUK 7

BESPREKING

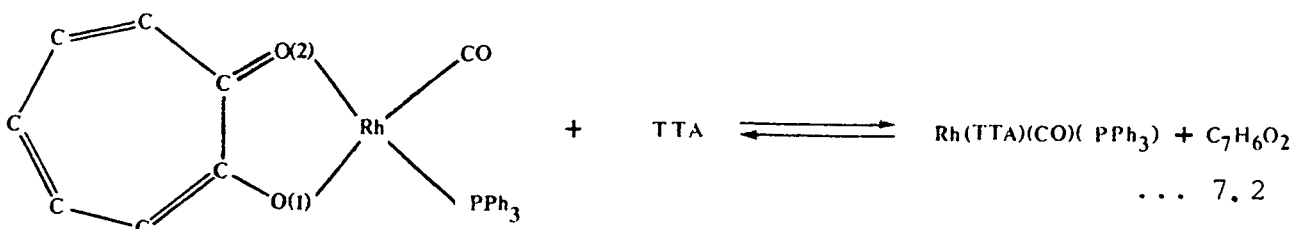
Die kristalstrukturbepaling van $[\text{Rh}(\text{TROP})(\text{CO})(\text{PPh}_3)]$ het getoon dat trifenielfosfien 'n groter transeffek as die CO-groep het, sien bespreking in paragraaf 6.2. Dit beteken dat die twee Rh-O bindings nie meer chemies ekwivalent (soos in die geval van die kompleks $[\text{Rh}(\text{TROP})(\text{CO})_2]$) is nie. Die Rh-O bindingsafstande van $2,034 \text{ \AA}$ en $2,081 \text{ \AA}$ toon dat die Rh-O binding (suurstofatoom trans ten opsigte van die PPh_3 -groep) swakker is as die ander Rh-O binding.

Die kristalstrukturbepaling van $[\text{Rh}(\text{TTA})(\text{CO})(\text{PPh}_3)]$ ⁴⁵⁾ (berei volgens reaksie 7.1) het getoon dat dit die karbonielgroep trans ten opsigte van die suurstofatoom naaste aan die tenoelgroep is, wat verplaas is.

Volgens hierdie resultaat het genoemde suurstofatoom die grootste transeffek. Dit is in ooreenstemming met die σ -transeffek (sien paragraaf 2.3.1.2) aangesien die suurstofatoom naast aan CF_3 -groep die swakste σ -donor sal wees en ook die minste polariseerbaar sal wees. weens die sterk elektronentrekkende vermoë van die CF_3 -groep.



Hierdie gevolgturekkings omtrent die relatiewe transeffek van die CO- en PPh_3 -groepe en die relatiewe transeffek van die twee suurstofatome van die β -diketoon en TTA kan getoets word deur middel van die reaksie 7.2.



Die spesifieke isomeer wat verkry sal word volgens reaksie 7.2 sal afhang van

- (i) watter Rh-O binding tydens reaksie 7.2 eerste sal breek, dit wil sê die relatiewe transeffek van PPh_3 en CO, en
- (ii) watter een van die twee suurstofatome van die TTA-groep eerste sal bind.

Uit bogenoemde bespreking is dit duidelik dat die Rh-O(2) binding (trans tot die PPh_3 -groep) die swakste is en dus eerste sal breek en dat die suurstofatoom naaste aan die tenoëlgroep (met die groter transeffek) eerste sal bind omdat 'n ligand met 'n groot transeffek 'n goeie inkomende ligand is in vierkantig-planêre substitusiereaksies. Dus behoort die produk in reaksies 7.1 en 7.2 dieselfde isomeer te wees. Bogenoemde is bevestig deur reaksie 7.2. Ekwimolekulêre hoeveelhede van $[\text{Rh}(\text{TROP})(\text{CO})(\text{PPh}_3)]$ en TTA is in die minimum hoeveelheid asetoon opgelos en toegelaat om uit te kristalliseer. Die verkreeë produk is herkristalliseer uit asetoon. X-straal poeierfoto's van die produkte van reaksie 7.1 en 7.2 het getoon dat dieselfde isomeer verkry is. Hierdie resultaat bevestig dus die gevolgtrekking omtrent

die relatiewe transeffek van die ligande in komplekse van die tipe $[Rh(AA(CO)_2]$ en $[Rh(AA(CO)PPh_3)]$.

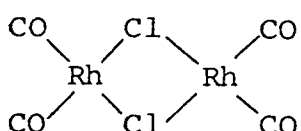
Die substitusiereaksies van $[Rh(TROP(CO)AsPh_3)]$ met TTA vind plaas volgens die gewone tweeterm tempowet vir vierkantig-planêre substitusiereaksies, sien paragraaf 2.2 en hoofstuk 5. Die invloed van die oplosmiddel was egter weglaatbaar klein sodat vergelyking 2.6 vereenvoudig het na

$$\text{tempo} = k_2 [TTA][Rh(TROP(CO)AsPh_3)]$$

In teenstelling met bovenoemde reaksie, is die gewone tweeterm tempovergelyking nie verkry vir die substitusiereaksies van $[Rh(AA(CO)_2]$ met $AsPh_3$ nie, sien paragraaf 4.2. Hierdie substitusiereaksies gehoorsaam egter die volgende tempovergelyking

$$\begin{aligned} \text{Tempo} = & k_s [Rh(AA(CO)_2] + k_y [Rh(AA(CO)_2][AsPh_3] + \\ & k_2 K [Rh(AA(CO)_2]^2 [AsPh_3] \end{aligned}$$

Die enigste verskil tussen hierdie tempovergelyking en die normale tweeterm tempovergelyking is die term $k_2 K [Rh(AA(CO)_2]^2 [AsPh_3]$. Hierdie tweede-orde afhanklikheid van $[Rh(AA(CO)_2]$ is toegeskryf aan 'n dimerisasie, sien reaksiemeganisme in paragraaf 4.2. Dit is bekend dat rodium(I)-komplekse dikwels dimeries is,³³⁾ byvoorbeeld



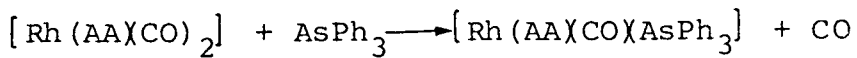
Die dimerisasie van komplekse van die tipe $[\text{Rh}(\text{AA}(\text{CO})_2)]$ is egter eerder as gevolg van 'n oorvleueling van die π -elektrone van die pseudo-aromatiese chelaatring met die p_z -orbitaal van die rodiumatoom van 'n ander rodiumkompleks.

Die kristalstruktuurbepaling van $[\text{Rh}(\text{asas}(\text{CO})_2)]^{48}$ het getoon dat die Rh-Rh afstand in die vaste toestand relatief kort is sodat so 'n interaksie moontlik is. 'n Verdere bevestiging van hierdie voorstelling is die feit dat geen afwyking van die normale tweeterm tempovergelyking vir die reaksie tussen $[\text{Rh}(\text{TROP}(\text{CO})(\text{AsPh}_3))]$ en TTA (sien hoofstuk 5) verkry is nie en dus geen dimerisasie van die rodiumkompleks waargeneem is nie. Dit kan verklaar word weens die steriese effek van die relatiewe groot AsPh_3 -groep wat verhoed dat twee komplekse naby genoeg aan mekaar kom vir 'n oorvleueling van die π -orbitale van 'n chelaatring met die leë p_z -orbitaal van 'n rodiumatoom.

----oo---

OPSOMMING

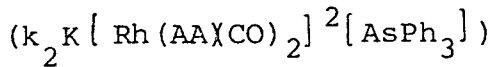
Die doel van die ondersoek was om kennis in te win aangaande die substitusiereaksies van die komplekse van die tipe $[\text{Rh}(\text{AA})(\text{CO})_2]$ en $[\text{Rh}(\text{AA})(\text{CO})(\text{L})]$, waar AA = tropoloon, 8-hidroksikinolien en dibensoïelmetaan en L = trifenielfosfien (PPh_3) en trifenielarsien (AsPh_3). In die algemeen word 'n tweeterm tempowet verkry vir substitusiereaksies van vierkantig-planêre komplekse. In teenstelling hiermee is gevind dat die substitusiereaksies



die volgende tempowet gehoorsaam:

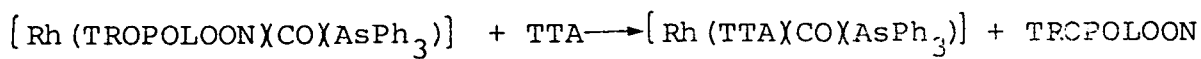
$$\text{Tempo} = k_s [\text{Rh}(\text{AA})(\text{CO})_2] + k_y [\text{Rh}(\text{AA})(\text{CO})_2][\text{AsPh}_3] + k_2 K [\text{Rh}(\text{AA})(\text{CO})_2]^2 [\text{AsPh}_3].$$

Die tweede-orde afhanklikheid met betrekking tot die konstansie van die rodiumkompleks



is toegeskryf aan 'n dimerisasie van $[\text{Rh}(\text{AA})(\text{CO})_2]$. Die dimerisasie is as gevolg van die oorvleueling van die π -elektrone van die pseudo-aromatiese chelaatring met die leë p_z -orbitaal van 'n rodiumatoom.

Die substitusiereaksie



gehoorsaam die normale tweeterm tempowet vir substitusiereaksies

van vierkantig-planêre komplekse:

$$\text{Tempo} = (k_s + k_y[\text{TTA}]) [\text{Rh}(\text{TROPOLOON})(\text{CO})(\text{AsPh}_3)]$$

met k_s baie klein.

(TTA = 1 - [tenoïel - (2')] - 3,3,3-trifluoroasetoon).

Daar is in hierdie geval geen dimerisasie van die rodiumkompleks moontlik nie weens die groot steriese hindernis van die relatief groot trifenielarsienligand.

Die spesifieke isomeer van die produk in laasgenoemde reaksie sal bepaal word deur die relatiewe transeffek van die AsPh_3^- en CO-groepe, asook deur die relatiewe transeffek van die twee suurstofatome van TTA. Die kristalstruktuurbepaling van $[\text{Rh}(\text{TROPOLOON})(\text{CO})(\text{PPh}_3)]$ wat isomorf is aan die trifenielaarsienderivaat het getoon dat PPh_3 'n groter transeffek as die karbonielgroep het. Die Rh-O bindingsafstande is 2,081 Å en 2,034 Å. Eersgenoemde binding is trans ten opsigte van die PPh_3 -groep. Die berekening van die beste vlak deur die ligande het getoon dat die koördinasiepoliëder platvlakkig is.

$[\text{Rh}(\text{TROPOLOON})(\text{CO})(\text{PPh}_3)]$ kristalliseer uit in die trikliniese kristalstelsel met $a = 8,843 \text{ \AA}$, $b = 10,555 \text{ \AA}$, $c = 13,575 \text{ \AA}$, $\alpha = 88,951^\circ$, $\beta = 103,121^\circ$ en $\gamma = 96,056^\circ$. Daar is twee molekule per eenheidsel. 3 030 refleksies is gebruik vir die struktuurbepaling. Die finale R-waarde was 5,8%.

'n Studie van die produk van die reaksie tussen $[\text{Rh}(\text{TROPOLOON})(\text{CO})(\text{AsPh}_3)]$ en TTA het getoon dat die suurstofatoom die naaste

aan die elektrononttrekkende CF_3 -groep in TTA die kleinste transeffek het. Hierdie bevinding is in ooreenstemming met die polarisasieteorie en die σ -transeffek aangesien die suurstofatoom die naaste aan die CF_3 -groep die minste polariseerbaar en die swakste σ -donor sal wees weens die elektrononttrekkende vermoë van die CF_3 -groep.

---oo---

VERWYSINGS

1. C.H. Langford en H.B. Gray, Ligand Substitution Processes, W.A. Benjamin Inc., New York (1966).
2. F. Bonati en G. Wilkinson, J.Chem.Soc., 3156 (1964).
3. T.I.A. Gerber, M.Sc. verhandeling, UOVS (1977).
4. R.C. Mehrotra, R. Bohra en D.P. Gaur, Metal β -Diketonates and Allied Derivates, Academic Press, New York (1978).
5. L. Wilhelmy, Pogg Ann., (81), 413 (1850).
6. A.A. Frost en R.G. Pearson, Kinetics and Mechanisms, John Wiley and Sons, Inc., New York (1953).
7. R.G. Wilkins, The Study of Kinetics and Mechanism of Reactions of Transitional Metal Complexes, Allyn and Bacon, Inc., Boston (1974).
8. S.H. Maron en J.B. Lando, Fundamentals of Physical Chemistry, Macmillan Publishing Co., Inc., New York (1974).
9. W.J. Moore, Physical Chemistry, Lowe and Brydone, Great Britain (1972).
10. S. Arrhenius, Z.Phys.Chem., 4, 226 (1889).
11. W.F.K. Wynne-Jones en H. Eyring, J.Chem.Phys., 3, 492 (1935).
12. F.Daniels en R.A. Alberty, Physical Chemistry, John Wiley and Sons, New York (1960).
13. M.J. Buerger, Crystal-structure Analysis, John Wiley and

- Sons, New York (1960).
14. H. Lipson en W. Cochran, The Crystalline state, Vol III, The determination of Crystal Structures, Bell and Sons, London (1966).
15. J.M. Stewart, G.Kruger, H. Ammon, C.H. Dickenson en S.R. Hall, Univ. of Maryland Comput.Sci.Tech., Rep. TR-192 (1972).
16. G.N. Ramachandran en R. Srinivasan, Fourier Methods In Crystallography, Wiley Interscience, New York (1970).
17. G.H.W. Milburn, X-Ray Crystallography, Butterworths, London (1973).
18. G.H. Stout en L.H. Jensen, X-Ray Structure Determinations, Macmillan Company, New York (1968).
19. H.J. Schutte en D.J. van Rooy, Lineêre Algebra en Meetkunde, Pro Rege-Pers Bpk., Potchefstroom (1961).
20. F.A. Guthrie en E.L. King, Inorg. Chem., 3, 916 (1964).
21. A. Werner, Z.Anorg. Allgem. Chem., 3, 267 (1893).
22. J.E. Ferguson, Stereochemistry and Bonding in Inorganic Chemistry, Prentice-Hall, New Jersey (1974).
23. A.A. Grindberg, Acta Physicochim., U.S.S.R., 3, 573 (1935).
24. F.Basolo en R.G. Pearson, Mechanisms of Inorganic Reactions, 2 nd. ed., Wiley, New York (1965).
25. F. Basolo, J.Chatt, H.B. Gray, R.G. Pearson en B.L. Shaw, J.Chem. Soc., 2207 (1961).

26. H.B. Gray, J. Am. Chem.Soc., 84, 1548 (1962).
27. R. Wanguo, M.Sc. verhandeling, Northwestern University, Evanston (1965).
28. R.G. Pearson, M.M. Muir en L.M. Venanzi, J.Chem.Soc., 5521 (1965).
29. R. Gruhl en von Hessing, Annalen, 472, 238 (1929).
30. T.G. Dunne en F.A. Cotton, Inorg.Chem., 2, 263 (1963).
31. A. Rusina en A. Vlček, Nature 206, 295 (1965).
32. Y.S. Varshavskii en T.G. Cherkasova. Russ.J.Inorg.Chem., 6, 899 (1967).
33. Y.S. Varshavskii N.N. Knyazeva, T.G. Cherkasova, N.V. Ivannikova en T.I. Ionina. Russ.J.Inorg,Chem. 367, (1970).
34. W.Robb en C.G. Nicholson, S.Afr.J.Chem., 30, 213 (1977).
35. N.F.M. Henry en K. Lonsdale, International Tables for X-Ray Crystallography., Vol.I (1952).
36. C.H. Macgillary en G.D. Rieck, International Tables for X-Ray Crsytallography., The Kynoch Press, Birningham, Vol. III (1962).
37. J.S. Kasper en K. Lonsdale, International Tables for X-Ray Crystallography, The Kynoch Press, Birningham, Vol II (1959).
38. D.T. Cromer en J.T. Waber, Acta.Cryst., 18, 104 (1965).
39. T.A. Hamor en D.J. Watkin, J.Chem.Soc., D, 440 (1969).

40. R.Shiono, *Acta,Cryst.*, 14, 42 (1961).
41. Y. Sasada en I. Nitta, *ibid*, 9, 205 (1956).
42. W.M. Mactintyre, J.M. Robertson en R.F. Zahrobsky, *Proc. Roy,Soc.Ser.A.*, 289, 161 (1966).
43. V.W. Day en J.L. Hoard, *J.Am.Chem.Soc.* 92, 3626 (1970).
44. J.J. Park, M.M. Collins en J.L. Hoard, *J.Am.Chem.Soc.*, 92, 3637 (1970).
45. J.G. Leipoldt, L.D.C. Bok, J.S. van Vollenhoven en A.I. Pieterse, *J.Inorg,Nucl.Chem.*, 40, 61 (1978).
46. L.E. Sutin, Tables of Interatomic Distances and Configuration in Molecules and Ions., Supplement 1956 - 1959, 5165, London, The Chemical Society.
47. J.G. Leipoldt, L.D.C. Bok, S.S. Basson en T.I.A. Gerger, *Inorg,Chim,Acta.*, 26, L35 (1978).
48. F.Huq en A.C. Skapski, *J.Cryst,Mol.Struct.*, 4, 411 (1974).

----oo---

